

## Producción de A.C.S.

(Diagramas de producción de A.C.S. y pérdidas de carga en circuito primario de calentamiento)

- Instrucciones \_\_\_\_\_ 39
- Modelo CV-80-M1S \_\_\_\_\_ 40
- Modelo CV-110-M1S \_\_\_\_\_ 41
- Modelo CV-150-M1S \_\_\_\_\_ 42
- Modelo CV-200-M1S \_\_\_\_\_ 43
- Modelo CV-300-M1S \_\_\_\_\_ 44
- Modelo CV-90-M1M \_\_\_\_\_ 40
- Modelo CV-120-M1M \_\_\_\_\_ 42
- Modelo CV-160-M1M \_\_\_\_\_ 43
- Modelo CV-110-M1 \_\_\_\_\_ 45
- Modelo CV-150-M1 \_\_\_\_\_ 46
- Modelo CV-200-M1 \_\_\_\_\_ 47
- Modelo CV-300-M1 \_\_\_\_\_ 48
- Modelo CV-500-M1 \_\_\_\_\_ 49
- Modelo CV-750-M1 \_\_\_\_\_ 50
- Modelo CV-1000-M1 \_\_\_\_\_ 51
- Modelo CV-1500-M1 \_\_\_\_\_ 52
- Modelo CV-800-M1B \_\_\_\_\_ 50
- Modelo CV-1000-M1B \_\_\_\_\_ 51
- Modelo CV-1500-M1B \_\_\_\_\_ 52
- Modelo CV-300-M2 \_\_\_\_\_ 48 y 53
- Modelo CV-400-M2 \_\_\_\_\_ 54 y 53
- Modelo CV-500-M2 \_\_\_\_\_ 49 y 55
- Modelo CV-750-M2 \_\_\_\_\_ 50 y 56
- Modelo CV-1000-M2 \_\_\_\_\_ 51 y 56
- Modelo CV-800-M2B \_\_\_\_\_ 50 y 56
- Modelo CV-1000-M2B \_\_\_\_\_ 51 y 56
- Modelo CV-1500-M2B \_\_\_\_\_ 52 y 57
- Modelo CV-160-HLM \_\_\_\_\_ 44
- Modelo CV-200-HL \_\_\_\_\_ 58
- Modelo CV-300-HL \_\_\_\_\_ 59
- Modelo CV-400-HL \_\_\_\_\_ 60
- Modelo CV-500-HL \_\_\_\_\_ 61
- Modelo CV-750-HL \_\_\_\_\_ 62
- Modelo CV-1000-HL \_\_\_\_\_ 63
- Modelo CV-800-HLB \_\_\_\_\_ 62
- Modelo CV-1000-HLB \_\_\_\_\_ 63
- Modelo CV-350-HL/DUO \_\_\_\_\_ 64 y 65
- Modelo CV-600-P \_\_\_\_\_ 66 y 69
- Modelo CV-800-P \_\_\_\_\_ 67 y 70
- Modelo CV-1000-P \_\_\_\_\_ 68 y 71
- Modelo CV-800-P/DUO \_\_\_\_\_ 67 y 70
- Modelo CV-1000-P/DUO \_\_\_\_\_ 68 y 71



**Introducción:**

Nuestro laboratorio de ensayos dispone de las instalaciones e instrumentación de medida y control necesarios para la reproducción real de las condiciones de ensayo de nuestros depósitos.

De esta forma se han obtenido los datos técnicos que se exponen a continuación, teniendo en cuenta que en una instalación real son difícilmente reproducibles las condiciones idóneas de ensayo.

El mantenimiento de temperaturas constantes en el circuito primario, la medición y mantenimiento constante de caudales y saltos térmicos estabilizados en el circuito secundario, son algunas de las dificultades por las que no es posible reproducir estos ensayos en cualquier instalación.

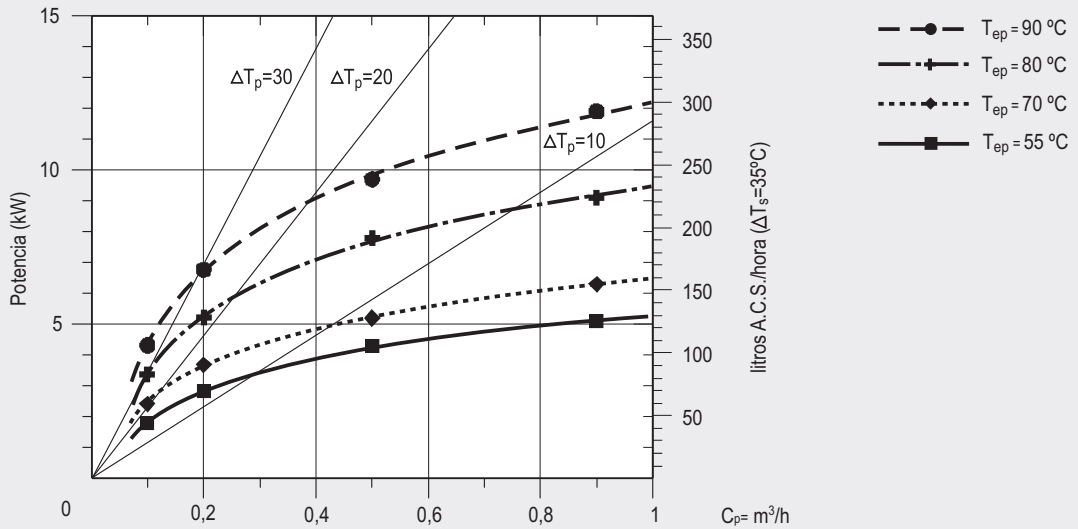
Por ello, nuestros clientes si así lo desean, pueden comprobar en nuestro laboratorio todos y cada uno de los datos que a continuación exponemos, reproduciendo las condiciones de ensayo de acuerdo a la normativa que ha sido utilizada para este fin.

Definiciones para la interpretación de los diagramas:

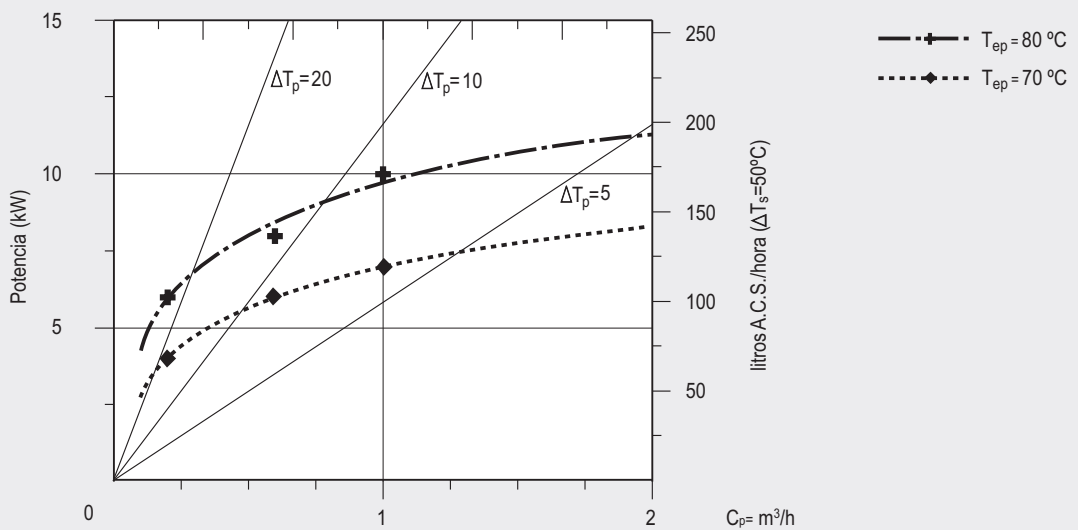
- **Potencia absorbida (P):** Potencia que es capaz de absorber el depósito a una temperatura y caudal constantes de entrada de circuito primario.
- **Caudal del circuito primario (Cp):** Caudal de agua de calentamiento impulsado por el circulador del circuito primario y medido a la salida de éste.
- **Pérdida de carga (- $\Delta P$ ):** Pérdida de presión entre la entrada y la salida del circuito primario sin tener en cuenta llaves, codos o cualquier elemento añadido al depósito.
- **$\Delta T_p$ :** Salto térmico en circuito primario de calentamiento.
- **$\Delta T_s$ :** Salto térmico en circuito secundario.
- **Tep:** Temperatura de entrada de circuito primario de calentamiento.
- **Ts:** Temperatura de entrada de circuito secundario (agua fría).

Modelos CV-80-M1S y CV-90-M1M

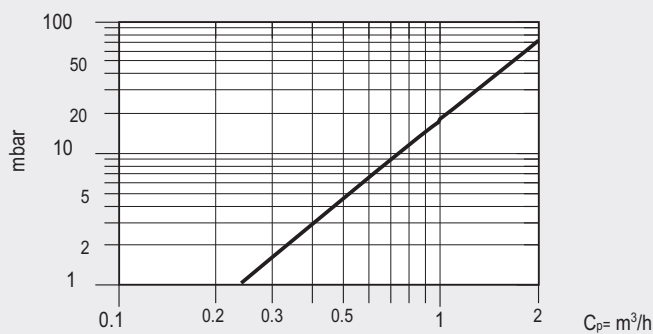
Curvas de potencia para diferentes caudales y temperaturas de circuito primario para producción de A.C.S. 10°C → 45°C.



Curvas de potencia para diferentes caudales y temperaturas de circuito primario para producción de A.C.S. 10°C → 60°C.

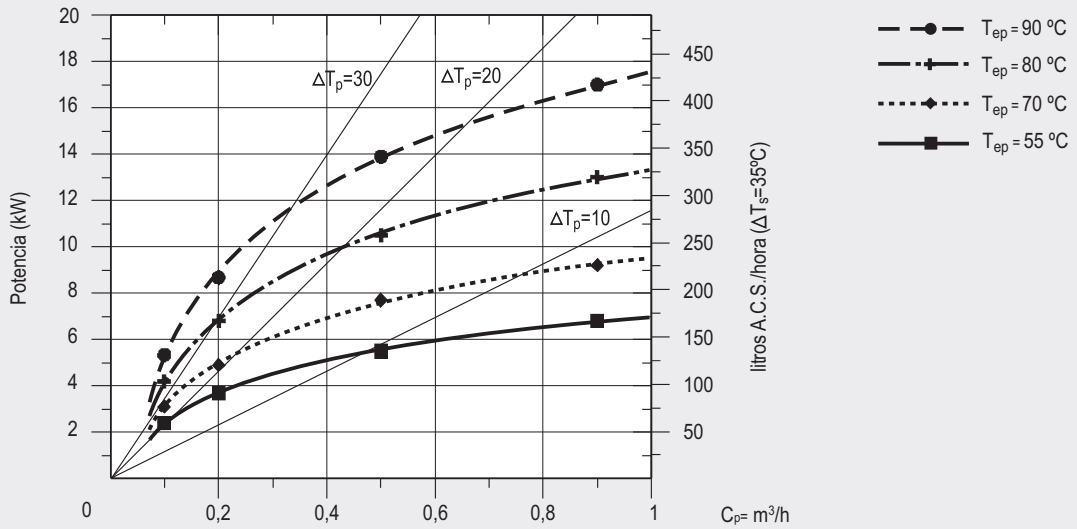


Pérdidas de carga entre conexiones de entrada y salida de circuito primario para diferentes caudales de circulación.

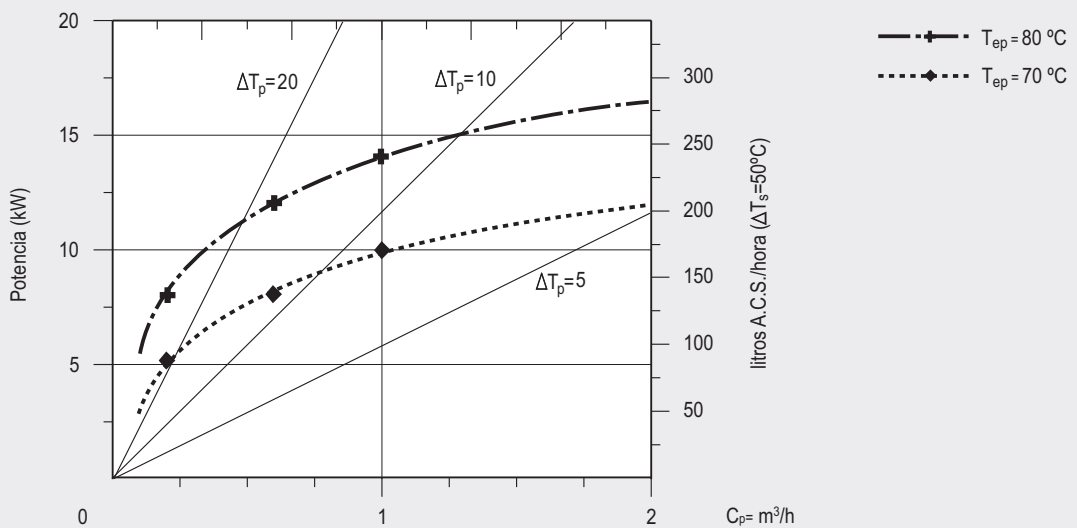


Modelos CV-110-M1S

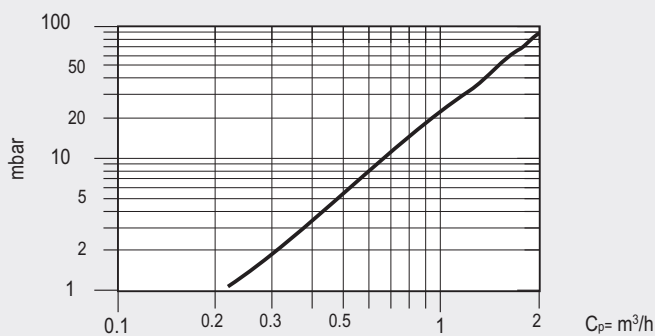
Curvas de potencia para diferentes caudales y temperaturas de circuito primario para producción de A.C.S. 10°C → 45°C.



Curvas de potencia para diferentes caudales y temperaturas de circuito primario para producción de A.C.S. 10°C → 60°C.

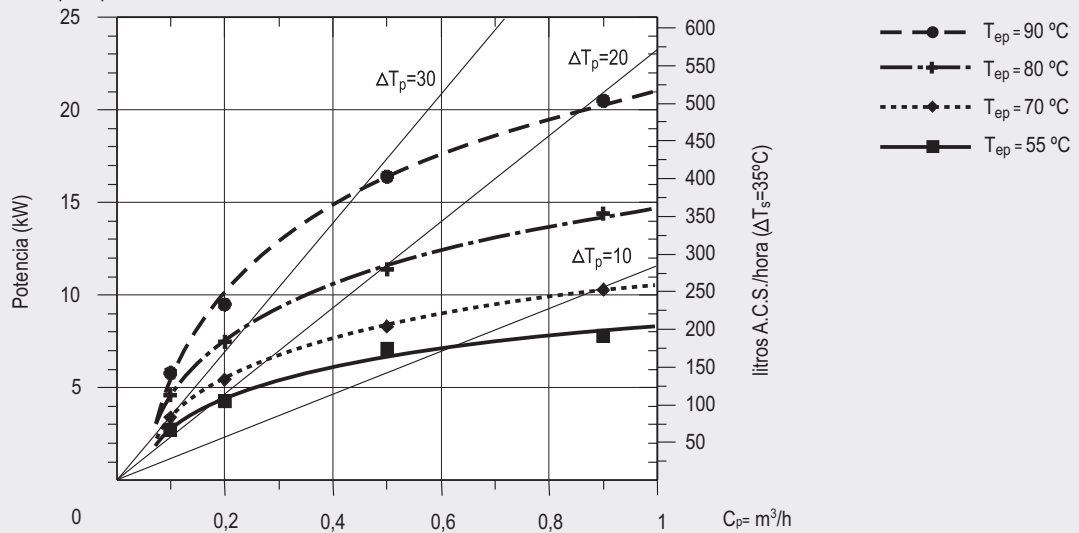


Pérdidas de carga entre conexiones de entrada y salida de circuito primario para diferentes caudales de circulación.

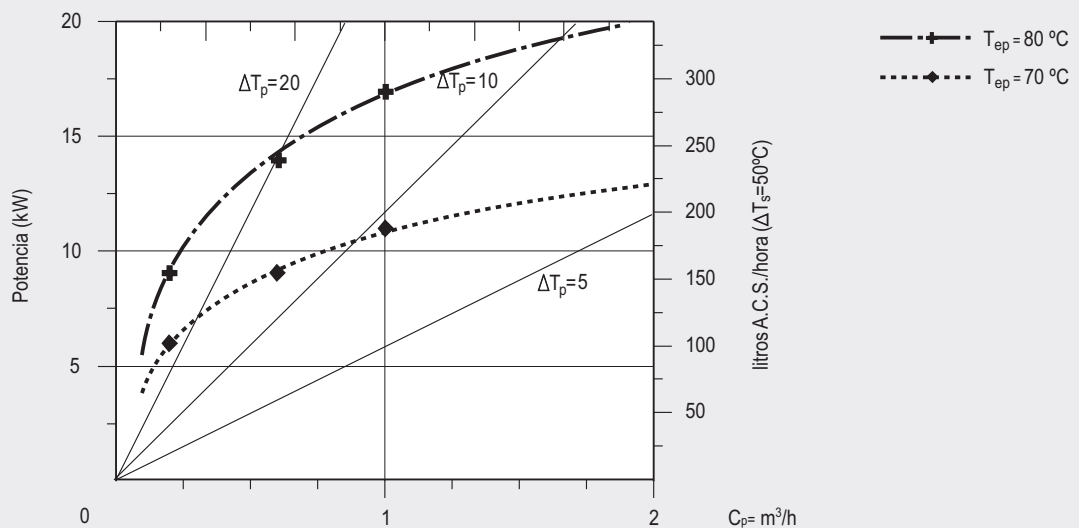


Modelos CV-150-M1S y CV-120-M1M

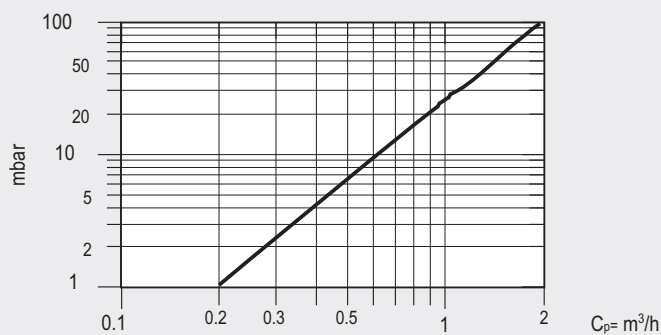
Curvas de potencia para diferentes caudales y temperaturas de circuito primario para producción de A.C.S. 10°C → 45°C.



Curvas de potencia para diferentes caudales y temperaturas de circuito primario para producción de A.C.S. 10°C → 60°C.

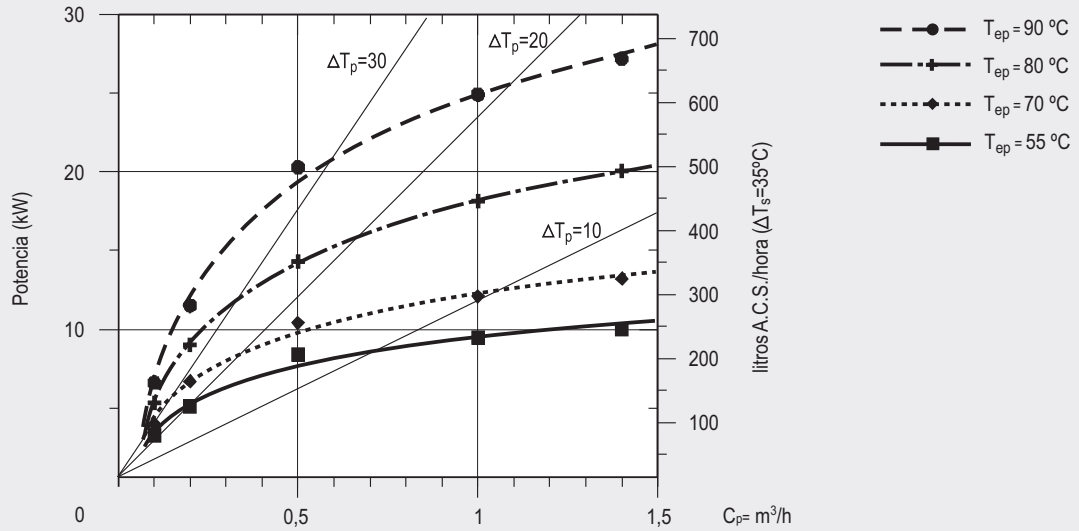


Pérdidas de carga entre conexiones de entrada y salida de circuito primario para diferentes caudales de circulación.

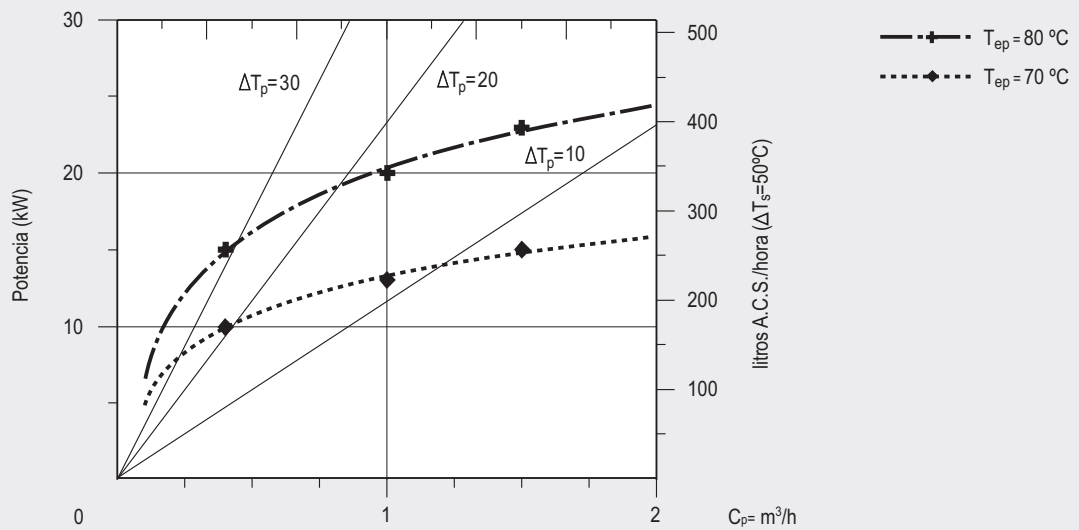


Modelos CV-200-M1S y CV-160-M1M

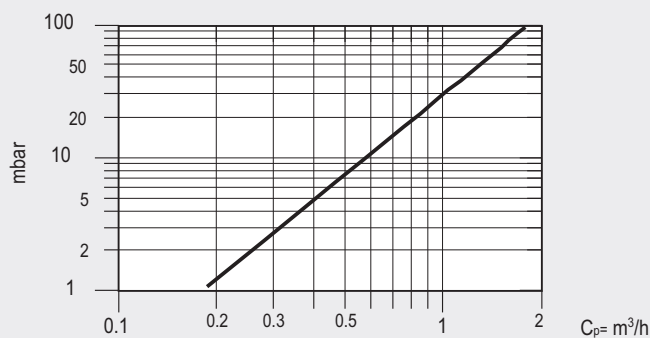
Curvas de potencia para diferentes caudales y temperaturas de circuito primario para producción de A.C.S. 10°C → 45°C.



Curvas de potencia para diferentes caudales y temperaturas de circuito primario para producción de A.C.S. 10°C → 60°C.

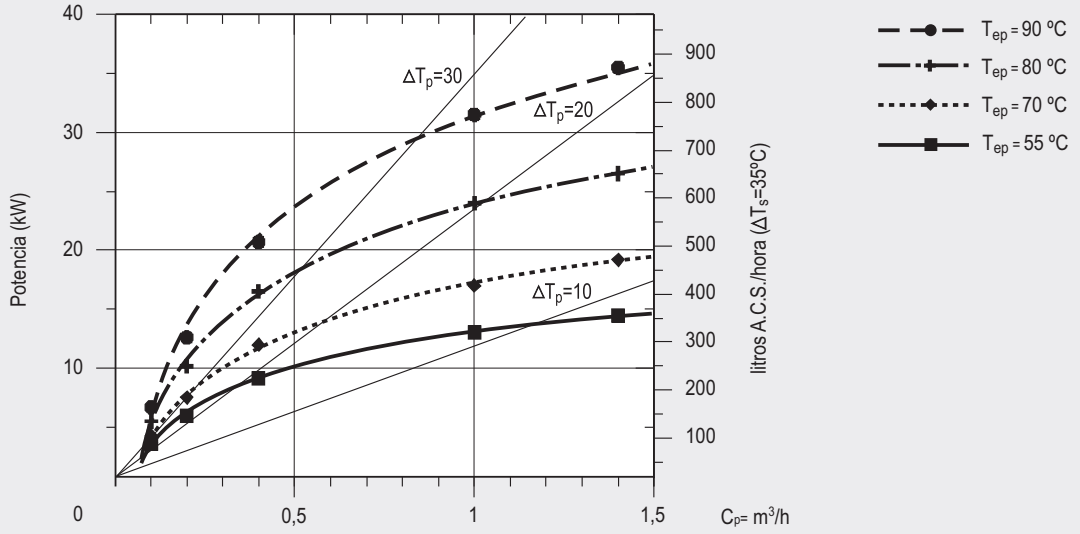


Pérdidas de carga entre conexiones de entrada y salida de circuito primario para diferentes caudales de circulación.

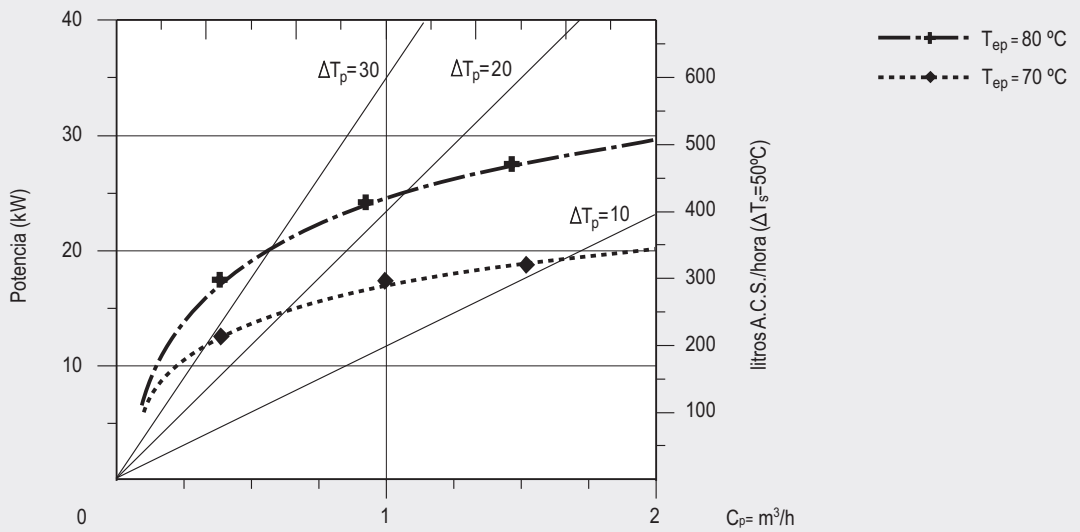


Modelos CV-300-M1S y CV160 HL/M

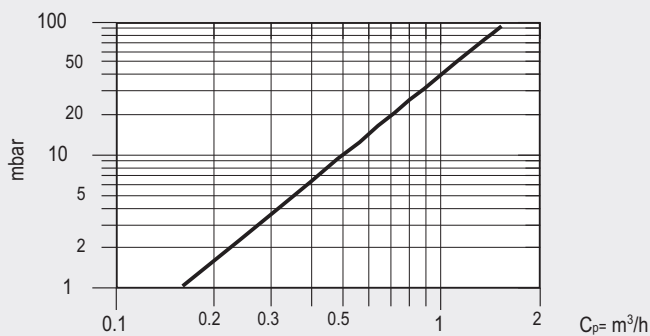
Curvas de potencia para diferentes caudales y temperaturas de circuito primario para producción de A.C.S. 10°C → 45°C.



Curvas de potencia para diferentes caudales y temperaturas de circuito primario para producción de A.C.S. 10°C → 60°C.

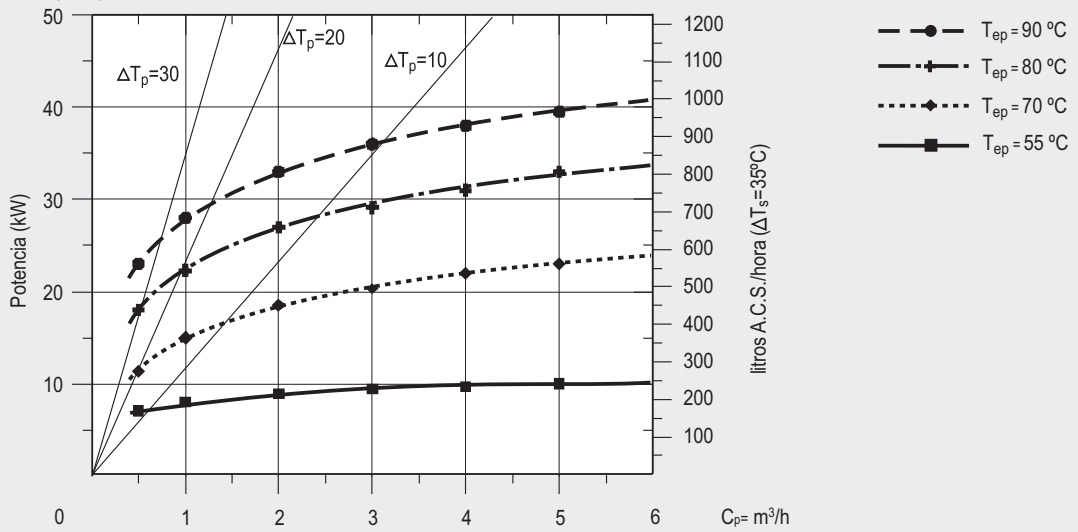


Pérdidas de carga entre conexiones de entrada y salida de circuito primario para diferentes caudales de circulación.

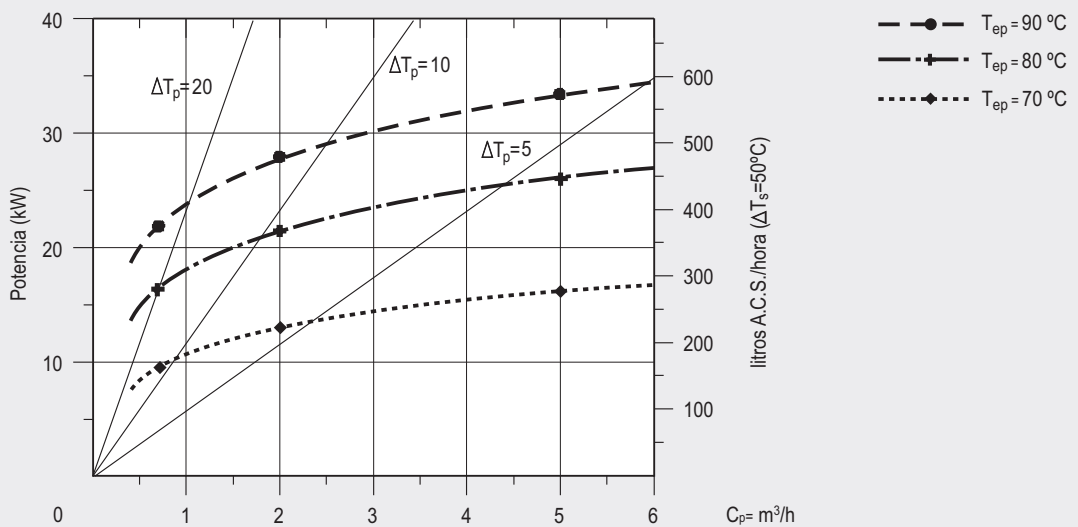


Modelos CV-110-M1

Curvas de potencia para diferentes caudales y temperaturas de circuito primario para producción de A.C.S. 10°C → 45°C.



Curvas de potencia para diferentes caudales y temperaturas de circuito primario para producción de A.C.S. 10°C → 60°C.

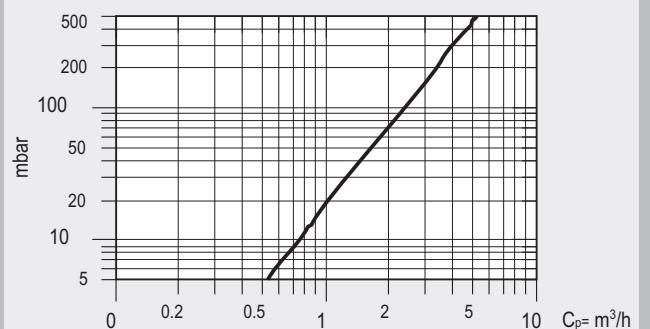


Producción de A.C.S.

Caudal punta a 40°C	L/10'	170
Caudal punta a 45°C	L/10'	145
Caudal punta a 60°C	L/10'	100
Caudal punta a 40°C	L/60'	1060
Caudal punta a 45°C	L/60'	885
Caudal punta a 60°C	L/60'	525
Caudal continuo a 40°C	L/h	1070
Caudal continuo a 45°C	L/h	890
Caudal continuo a 60°C	L/h	510
Tiempo de calentamiento (de 10 a 75°C)	Min	29
Caudal de agua de calefacción	m³/h	5

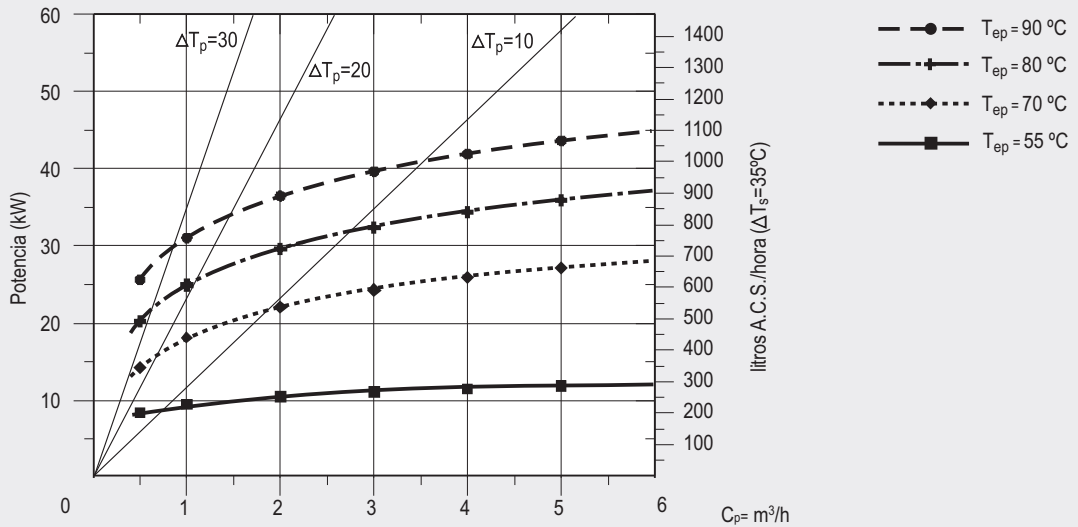
T<sup>a</sup>(Temperatura impulsión del agua de calefacción) = 85 °C

Pérdidas de carga entre conexiones de entrada y salida de circuito primario para diferentes caudales de circulación.

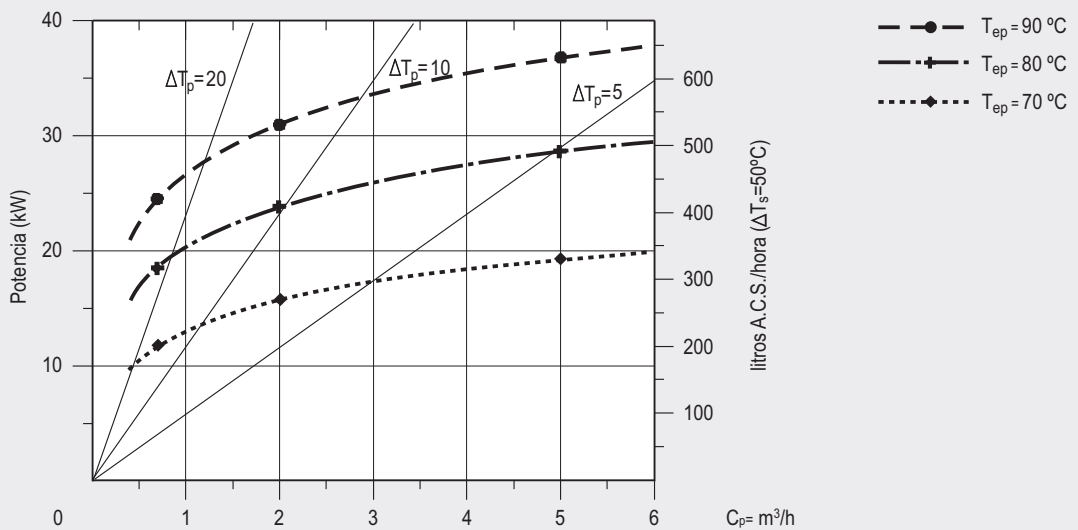


Modelos CV-150-M1

Curvas de potencia para diferentes caudales y temperaturas de circuito primario para producción de A.C.S. 10°C → 45°C.



Curvas de potencia para diferentes caudales y temperaturas de circuito primario para producción de A.C.S. 10°C → 60°C.

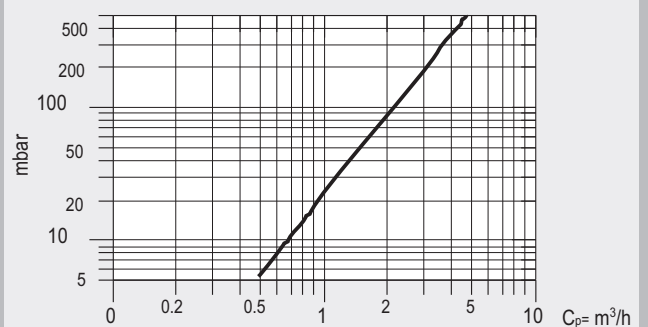


Producción de A.C.S.

Caudal punta a 40°C	L/10'	230
Caudal punta a 45°C	L/10'	200
Caudal punta a 60°C	L/10'	140
Caudal punta a 40°C	L/60'	1160
Caudal punta a 45°C	L/60'	975
Caudal punta a 60°C	L/60'	615
Caudal continuo a 40°C	L/h	1115
Caudal continuo a 45°C	L/h	930
Caudal continuo a 60°C	L/h	570
Tiempo de calentamiento (de 10 a 75°C)	Min	35
Caudal de agua de calefacción	m³/h	5

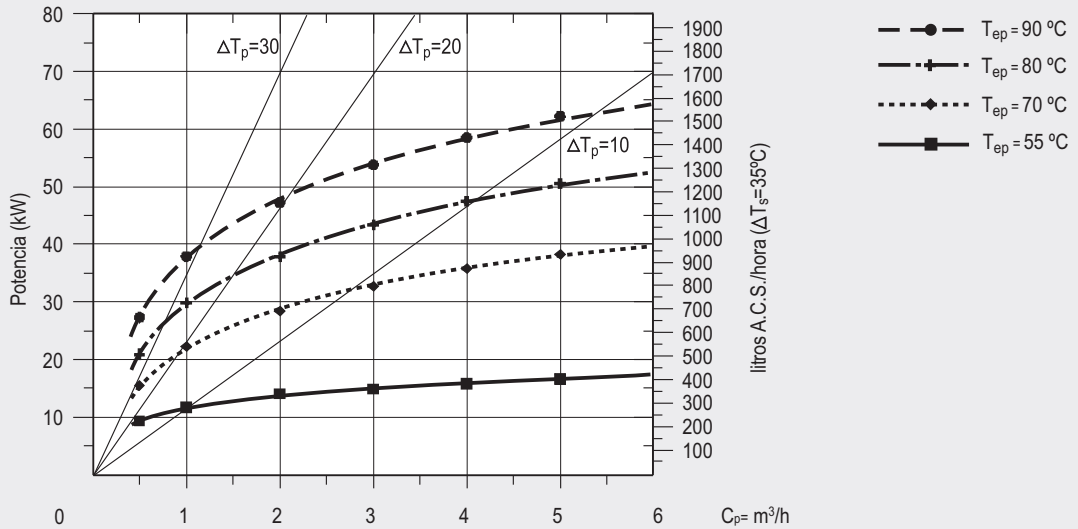
Tª(Temperatura impulsión del agua de calefacción) = 85 °C

Pérdidas de carga entre conexiones de entrada y salida de circuito primario para diferentes caudales de circulación.

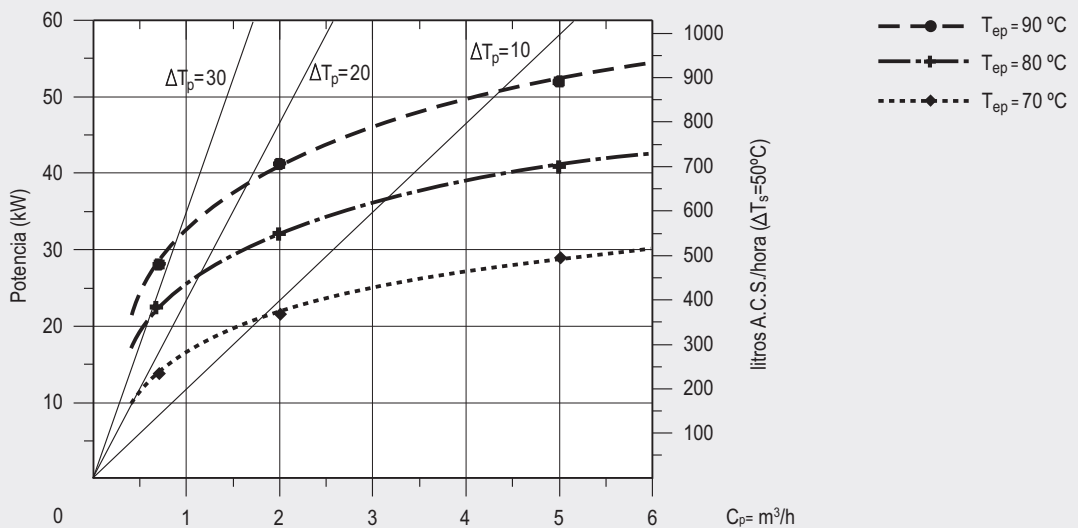


Modelos CV-200-M1

Curvas de potencia para diferentes caudales y temperaturas de circuito primario para producción de A.C.S. 10°C → 45°C.



Curvas de potencia para diferentes caudales y temperaturas de circuito primario para producción de A.C.S. 10°C → 60°C.

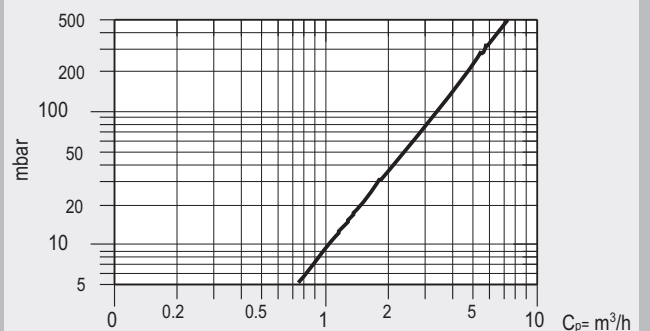


Producción de A.C.S.

Caudal punta a 40°C	L/10'	435
Caudal punta a 45°C	L/10'	370
Caudal punta a 60°C	L/10'	260
Caudal punta a 40°C	L/60'	1810
Caudal punta a 45°C	L/60'	1515
Caudal punta a 60°C	L/60'	930
Caudal continuo a 40°C	L/h	1650
Caudal continuo a 45°C	L/h	1375
Caudal continuo a 60°C	L/h	801
Tiempo de calentamiento (de 10 a 75°C)	Min	43
Caudal de agua de calefacción	$m^3/h$	5

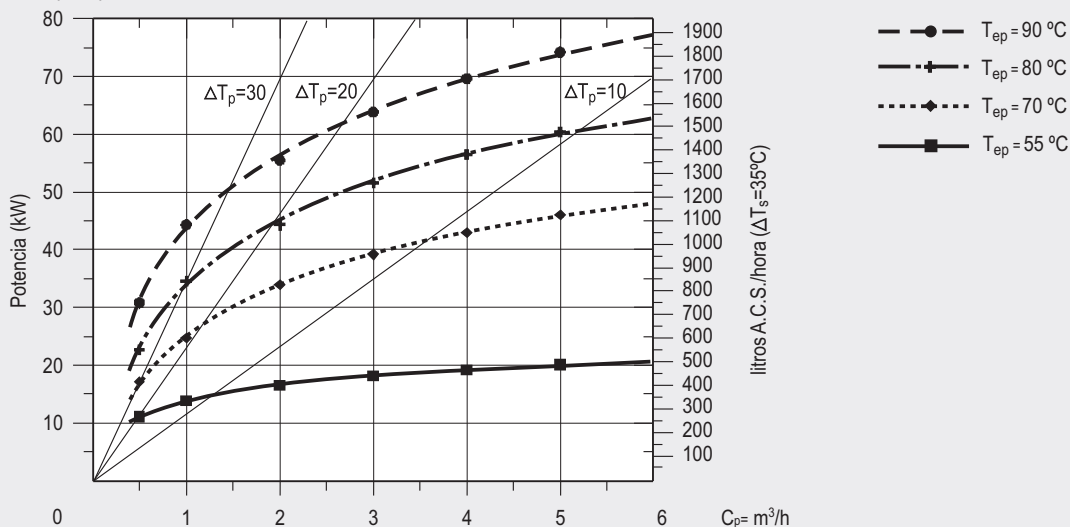
$T^a$ (Temperatura impulsión del agua de calefacción) = 85 °C

Pérdidas de carga entre conexiones de entrada y salida de circuito primario para diferentes caudales de circulación.

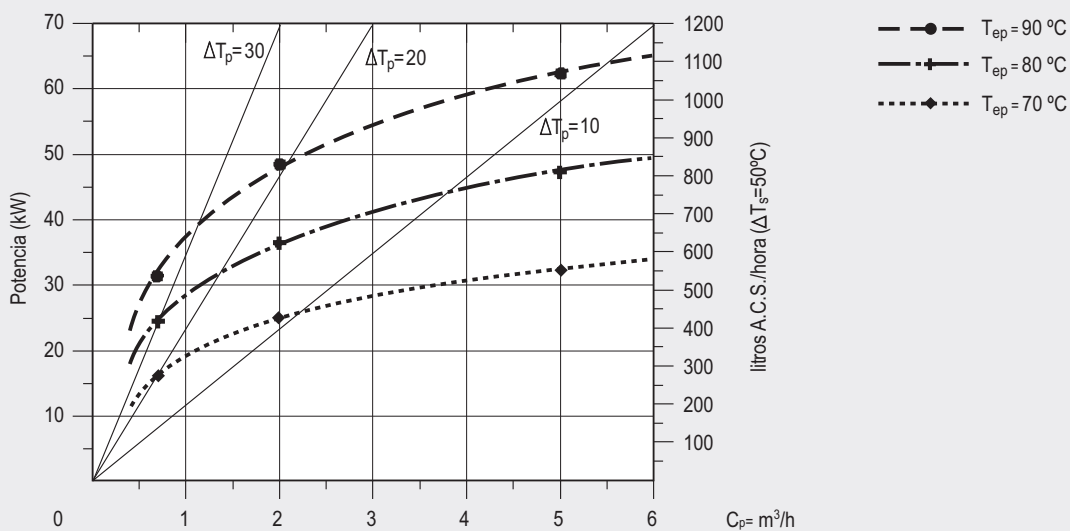


Modelos CV-300-M1 y serpentín inferior de CV-300-M2

Curvas de potencia para diferentes caudales y temperaturas de circuito primario para producción de A.C.S. 10°C → 45°C.



Curvas de potencia para diferentes caudales y temperaturas de circuito primario para producción de A.C.S. 10°C → 60°C.

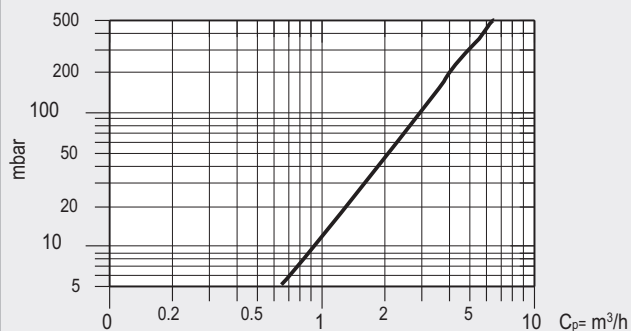


Producción de A.C.S.

Caudal punta a 40°C	L/10'	605
Caudal punta a 45°C	L/10'	520
Caudal punta a 60°C	L/10'	365
Caudal punta a 40°C	L/60'	2330
Caudal punta a 45°C	L/60'	1960
Caudal punta a 60°C	L/60'	1185
Caudal continuo a 40°C	L/h	2070
Caudal continuo a 45°C	L/h	1725
Caudal continuo a 60°C	L/h	985
Tiempo de calentamiento (de 10 a 75°C)	Min	48
Caudal de agua de calefacción	m³/h	6

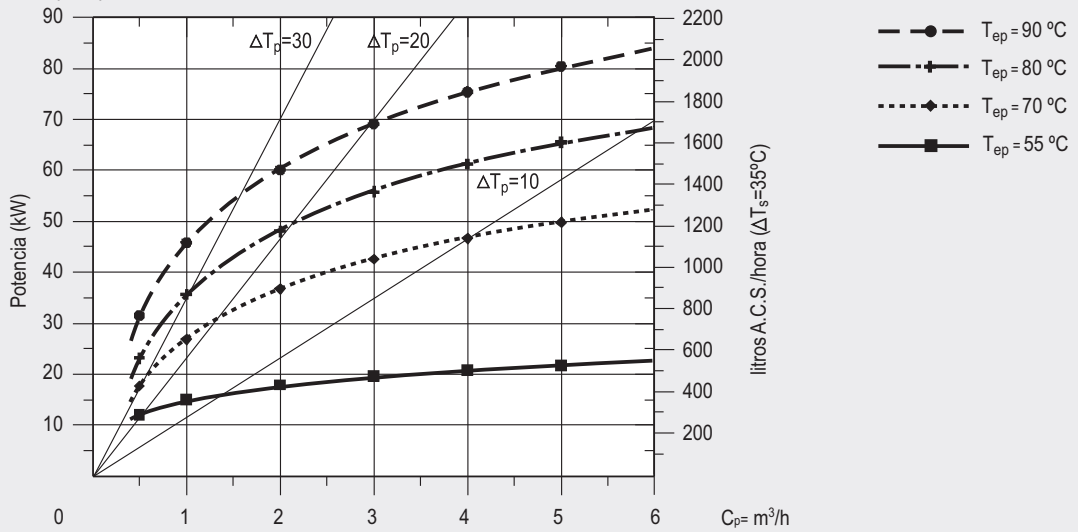
T<sup>a</sup>(Temperatura impulsión del agua de calefacción) = 85 °C

Pérdidas de carga entre conexiones de entrada y salida de circuito primario para diferentes caudales de circulación.

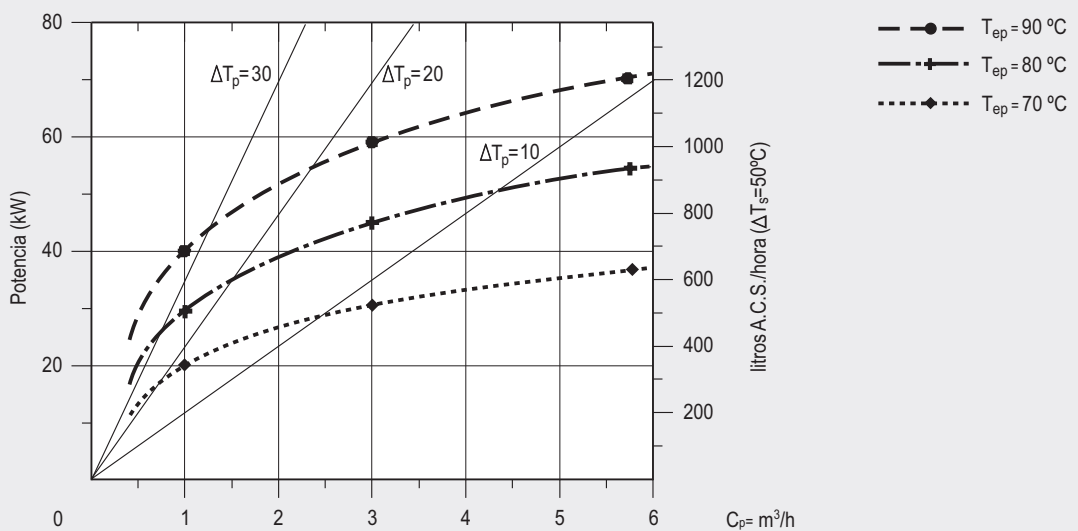


Modelos CV-500-M1 y serpentín inferior de CV-500-M2

Curvas de potencia para diferentes caudales y temperaturas de circuito primario para producción de A.C.S. 10°C → 45°C.



Curvas de potencia para diferentes caudales y temperaturas de circuito primario para producción de A.C.S. 10°C → 60°C.

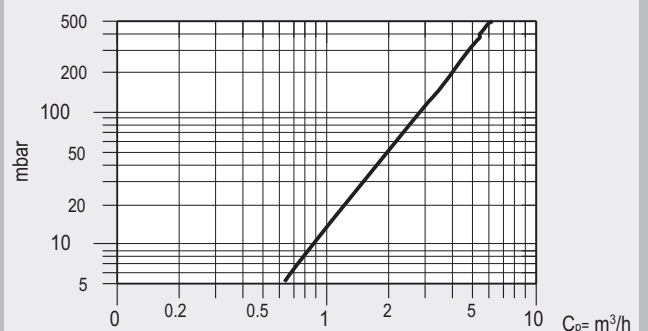


Producción de A.C.S.

Caudal punta a 40°C	L/10'	1085
Caudal punta a 45°C	L/10'	930
Caudal punta a 60°C	L/10'	650
Caudal punta a 40°C	L/60'	2960
Caudal punta a 45°C	L/60'	2490
Caudal punta a 60°C	L/60'	1555
Caudal continuo a 40°C	L/h	2250
Caudal continuo a 45°C	L/h	1875
Caudal continuo a 60°C	L/h	1085
Tiempo de calentamiento (de 10 a 75°C)	Min	56
Caudal de agua de calefacción	m³/h	6

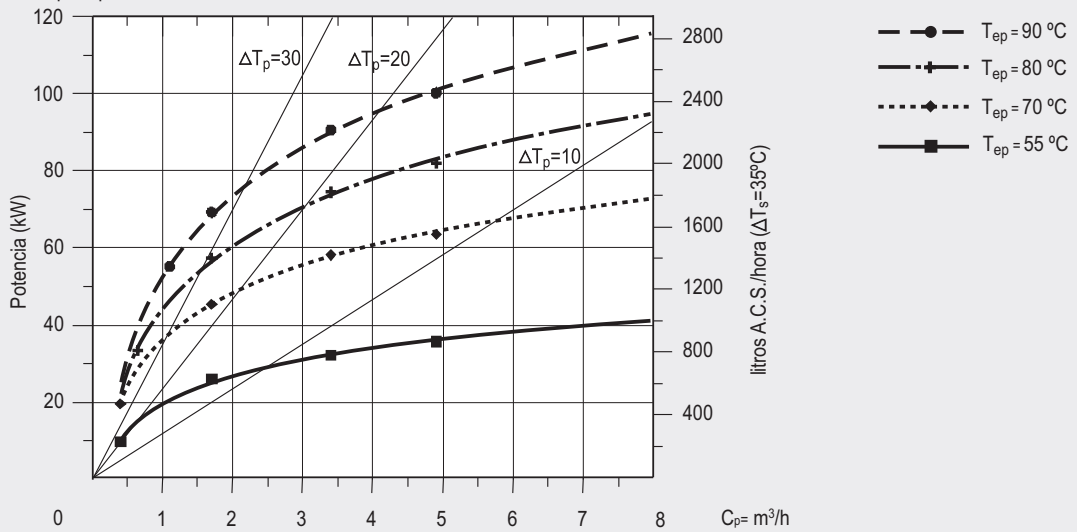
Tª(Temperatura impulsión del agua de calefacción) = 85 °C

Pérdidas de carga entre conexiones de entrada y salida de circuito primario para diferentes caudales de circulación.

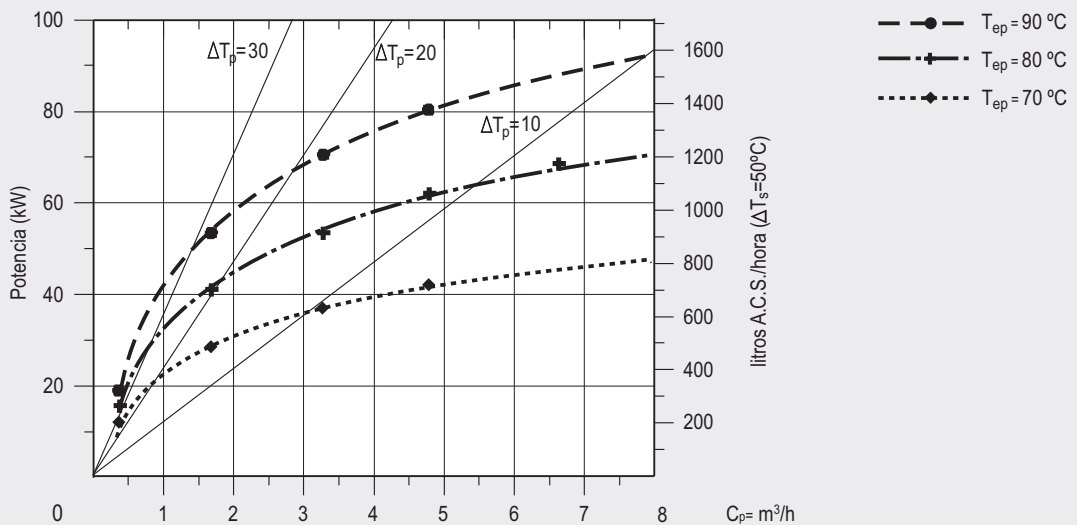


## Modelos CV-750-M1, CV-800-M1B y serpentín inferior de CV-750-M2 y CV-800-M2B

Curvas de potencia para diferentes caudales y temperaturas de circuito primario para producción de A.C.S. 10°C → 45°C.



Curvas de potencia para diferentes caudales y temperaturas de circuito primario para producción de A.C.S. 10°C → 60°C.

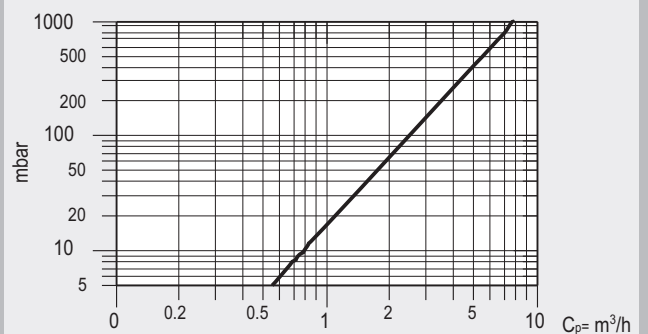


### Producción de A.C.S.

Caudal punta a 40°C	L/10'	1625
Caudal punta a 45°C	L/10'	1395
Caudal punta a 60°C	L/10'	975
Caudal punta a 40°C	L/60'	4105
Caudal punta a 45°C	L/60'	3460
Caudal punta a 60°C	L/60'	2140
Caudal continuo a 40°C	L/h	2975
Caudal continuo a 45°C	L/h	2480
Caudal continuo a 60°C	L/h	1395
Tiempo de calentamiento (de 10 a 75°C)	Min	63
Caudal de agua de calefacción	$m^3/h$	8

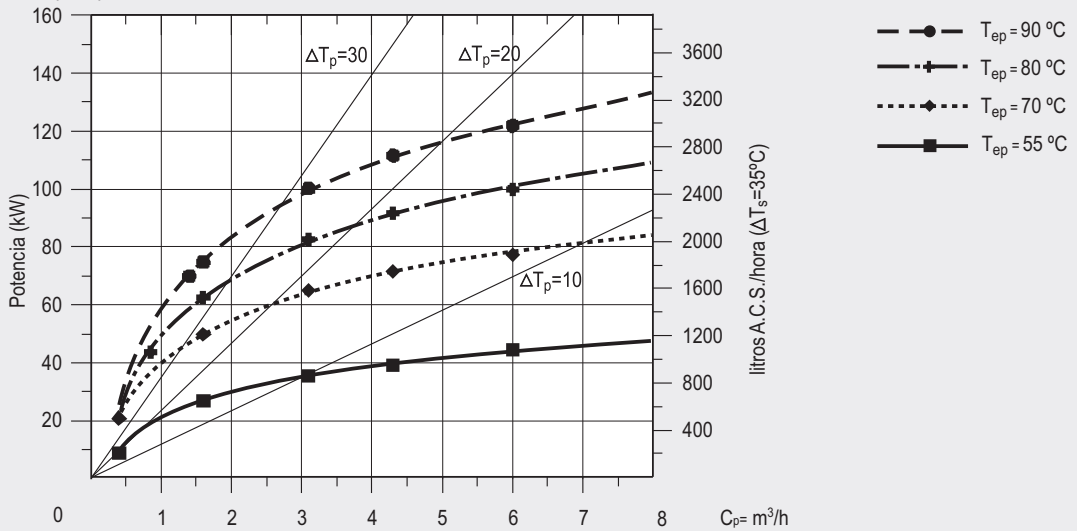
$T^a$ (Temperatura impulsión del agua de calefacción) = 85 °C

Pérdidas de carga entre conexiones de entrada y salida de circuito primario para diferentes caudales de circulación.

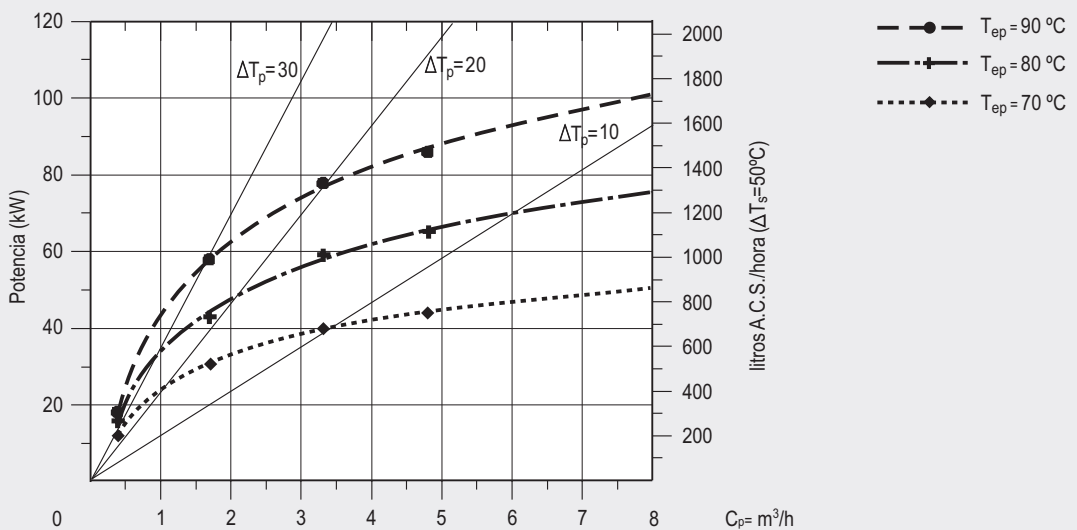


Modelos CV-1000-M1/M1B y serpentín inferior de CV-1000-M2/M2B

Curvas de potencia para diferentes caudales y temperaturas de circuito primario para producción de A.C.S. 10°C → 45°C.



Curvas de potencia para diferentes caudales y temperaturas de circuito primario para producción de A.C.S. 10°C → 60°C.

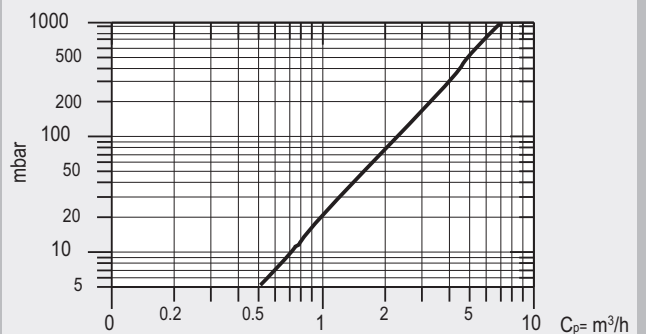


Producción de A.C.S.

Caudal punta a 40°C	L/10'	1950
Caudal punta a 45°C	L/10'	1670
Caudal punta a 60°C	L/10'	1170
Caudal punta a 40°C	L/60'	4935
Caudal punta a 45°C	L/60'	4160
Caudal punta a 60°C	L/60'	2440
Caudal continuo a 40°C	L/h	3580
Caudal continuo a 45°C	L/h	2985
Caudal continuo a 60°C	L/h	1525
Tiempo de calentamiento (de 10 a 75°C)	Min	70
Caudal de agua de calefacción	m³/h	8

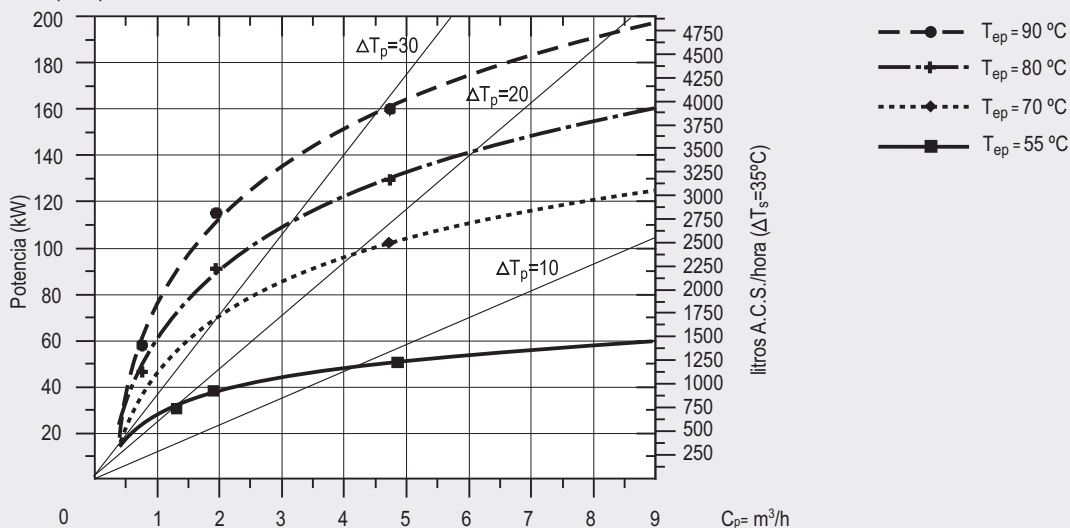
Tª(Temperatura impulsión del agua de calefacción) = 85 °C

Pérdidas de carga entre conexiones de entrada y salida de circuito primario para diferentes caudales de circulación.

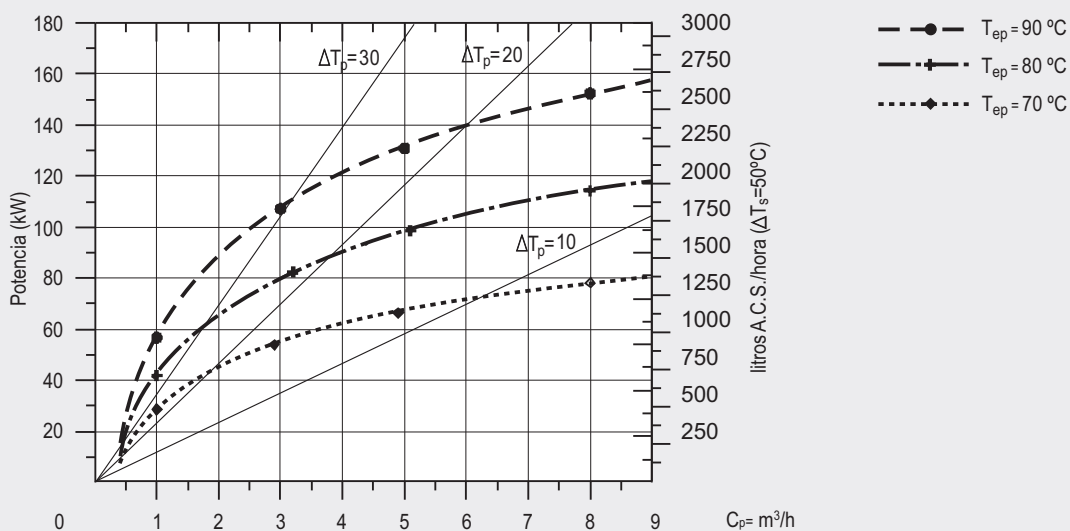


Modelos CV-1500-M1/M1B y serpentín inferior de CV-1500-M2B

Curvas de potencia para diferentes caudales y temperaturas de circuito primario para producción de A.C.S. 10°C → 45°C.



Curvas de potencia para diferentes caudales y temperaturas de circuito primario para producción de A.C.S. 10°C → 60°C.

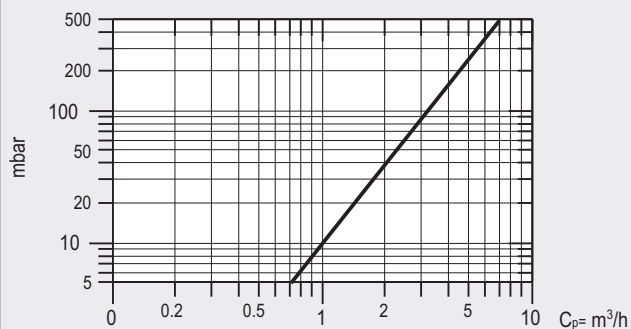


Producción de A.C.S.

Caudal punta a 40°C	L/10'	3140
Caudal punta a 45°C	L/10'	2695
Caudal punta a 60°C	L/10'	1885
Caudal punta a 40°C	L/60'	6665
Caudal punta a 45°C	L/60'	5630
Caudal punta a 60°C	L/60'	3565
Caudal continuo a 40°C	L/h	4230
Caudal continuo a 45°C	L/h	3525
Caudal continuo a 60°C	L/h	2015
Tiempo de calentamiento (de 10 a 75°C)	Min	81
Caudal de agua de calefacción	m³/h	8

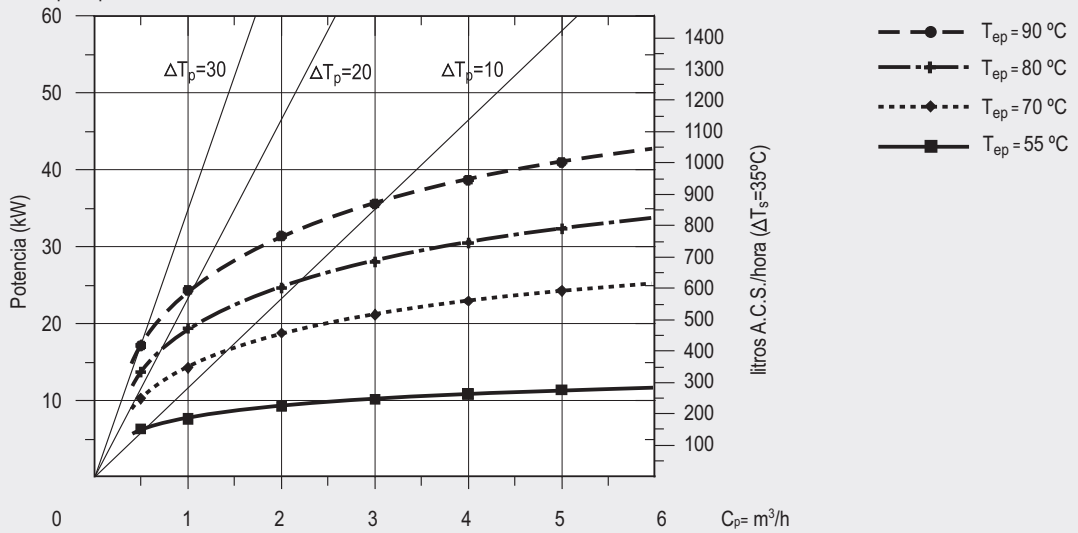
Tª(Temperatura impulsión del agua de calefacción) = 85 °C

Pérdidas de carga entre conexiones de entrada y salida de circuito primario para diferentes caudales de circulación.

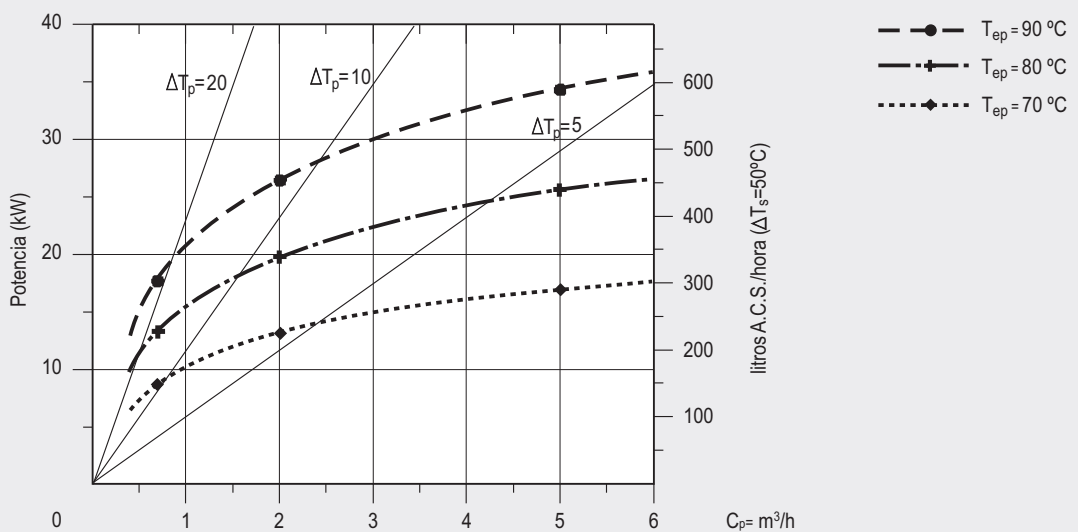


Modelos: Serpentin superior de CV-300-M2 y CV-400-M2

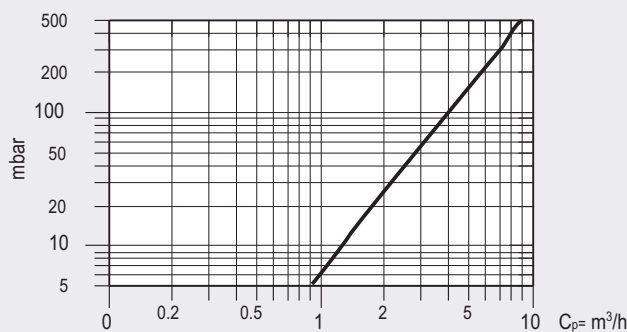
Curvas de potencia para diferentes caudales y temperaturas de circuito primario para producción de A.C.S. 10°C → 45°C.



Curvas de potencia para diferentes caudales y temperaturas de circuito primario para producción de A.C.S. 10°C → 60°C.

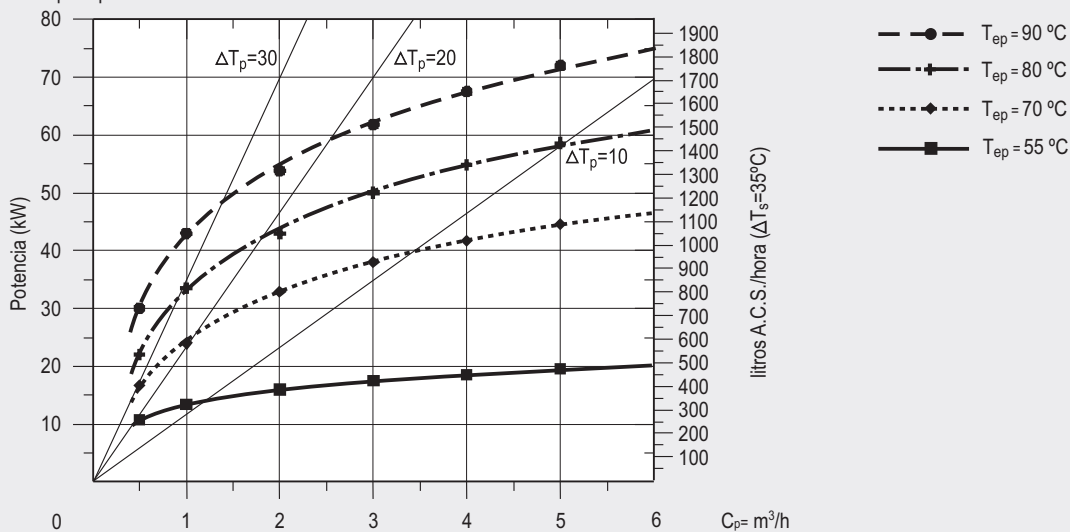


Pérdidas de carga entre conexiones de entrada y salida de circuito primario para diferentes caudales de circulación.

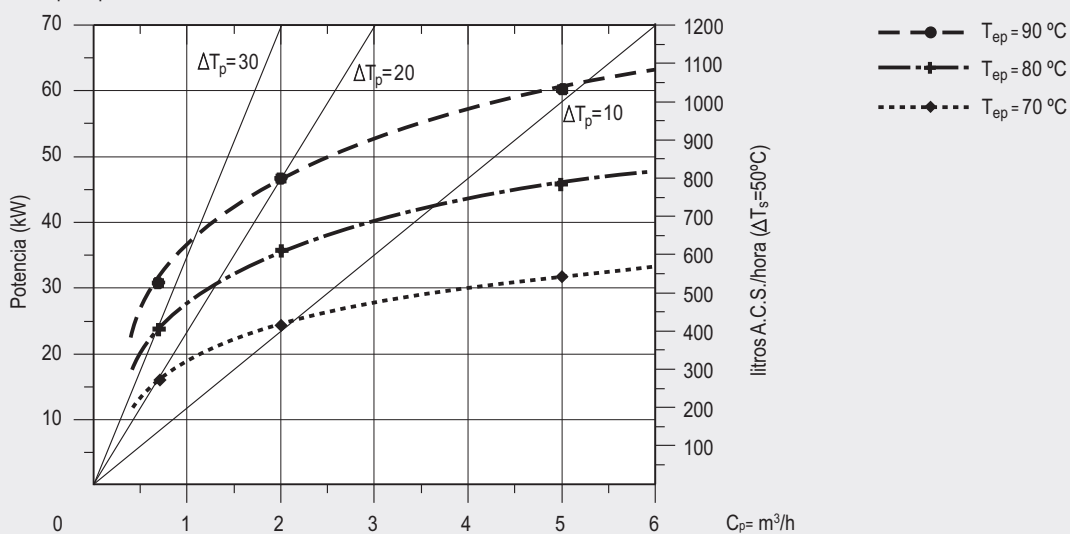


## Modelos: Serpentín inferior de CV-400-M2

Curvas de potencia para diferentes caudales y temperaturas de circuito primario para producción de A.C.S. 10°C → 45°C.



Curvas de potencia para diferentes caudales y temperaturas de circuito primario para producción de A.C.S. 10°C → 60°C.

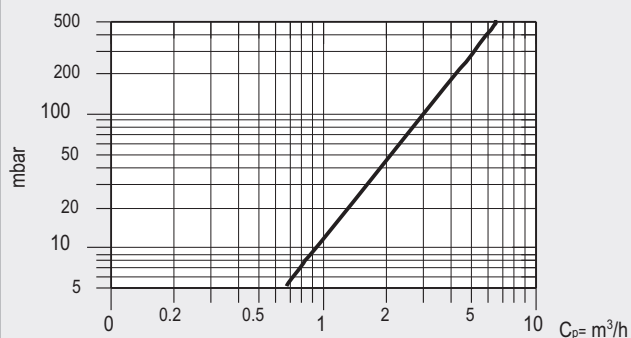


### Producción de A.C.S.

Caudal punta a 40°C	L/10'	835
Caudal punta a 45°C	L/10'	715
Caudal punta a 60°C	L/10'	500
Caudal punta a 40°C	L/60'	2505
Caudal punta a 45°C	L/60'	2105
Caudal punta a 60°C	L/60'	1295
Caudal continuo a 40°C	L/h	2005
Caudal continuo a 45°C	L/h	1670
Caudal continuo a 60°C	L/h	955
Tiempo de calentamiento (de 10 a 75°C)	Min	53
Caudal de agua de calefacción	m³/h	6

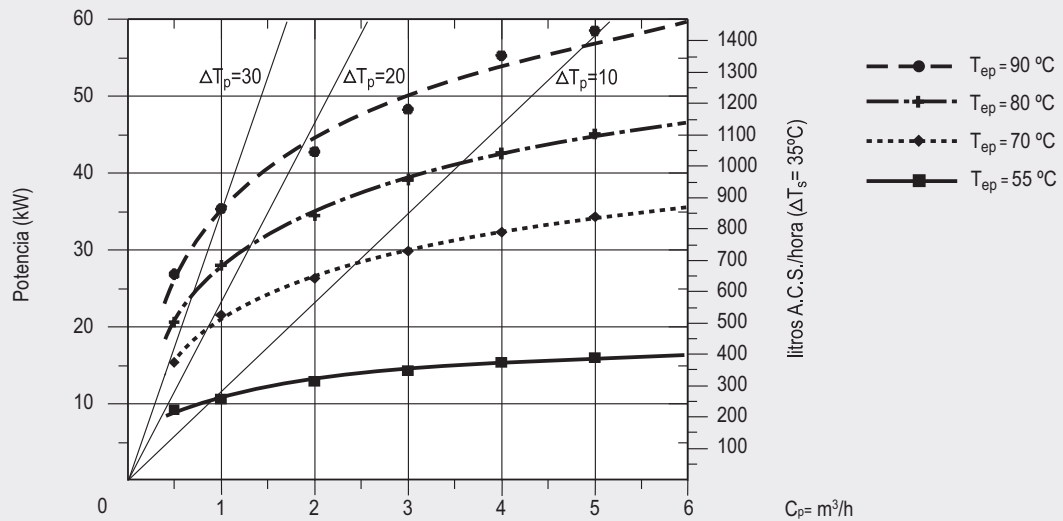
T<sup>a</sup> (Temperatura impulsión del agua de calefacción) = 85 °C

Pérdidas de carga entre conexiones de entrada y salida de circuito primario para diferentes caudales de circulación.

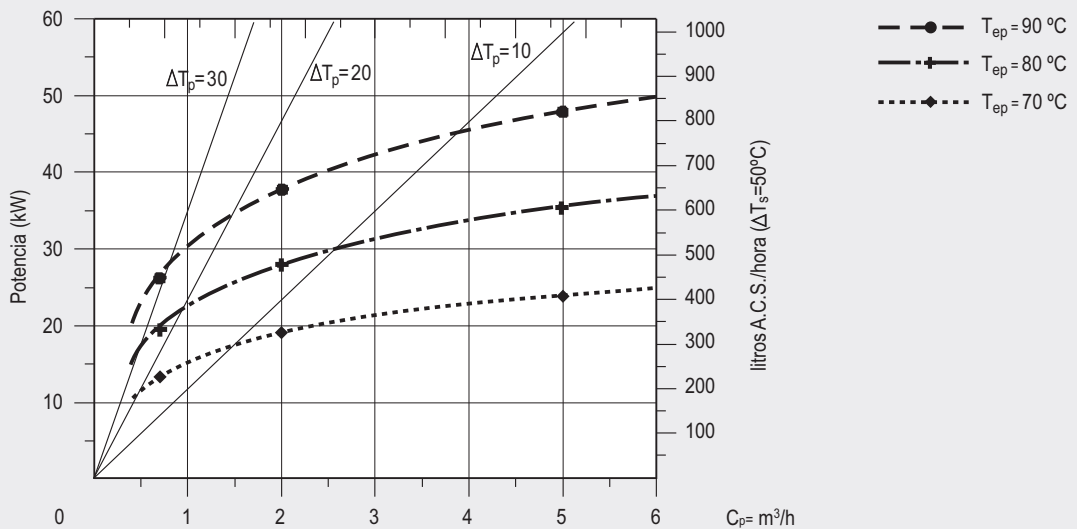


Modelos: Serpentin superior de CV-500-M2

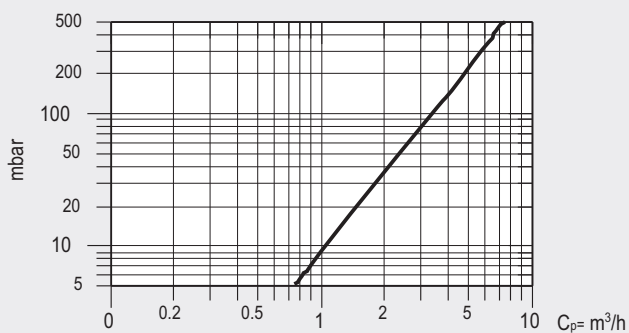
Curvas de potencia para diferentes caudales y temperaturas de circuito primario para producción de A.C.S. 10°C → 45°C.



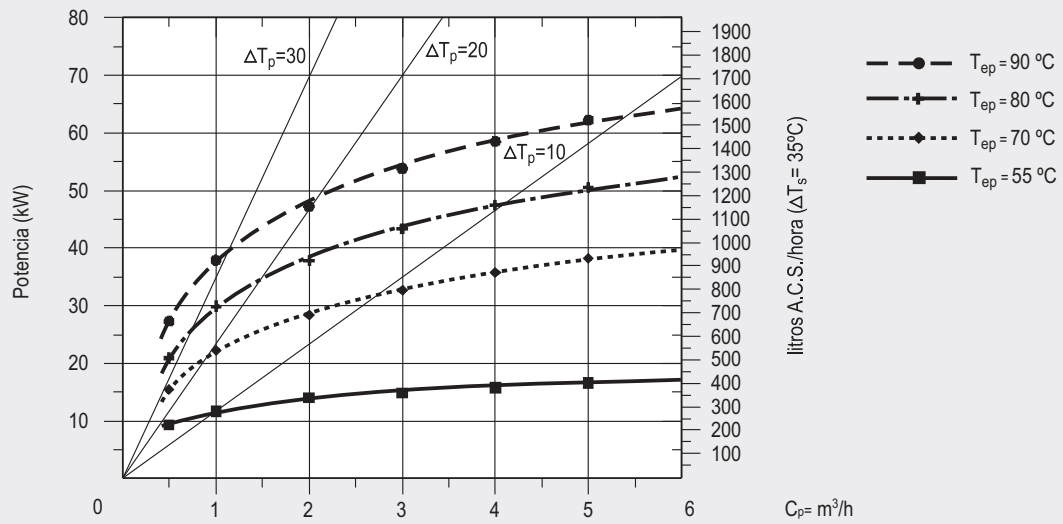
Curvas de potencia para diferentes caudales y temperaturas de circuito primario para producción de A.C.S. 10°C → 60°C.



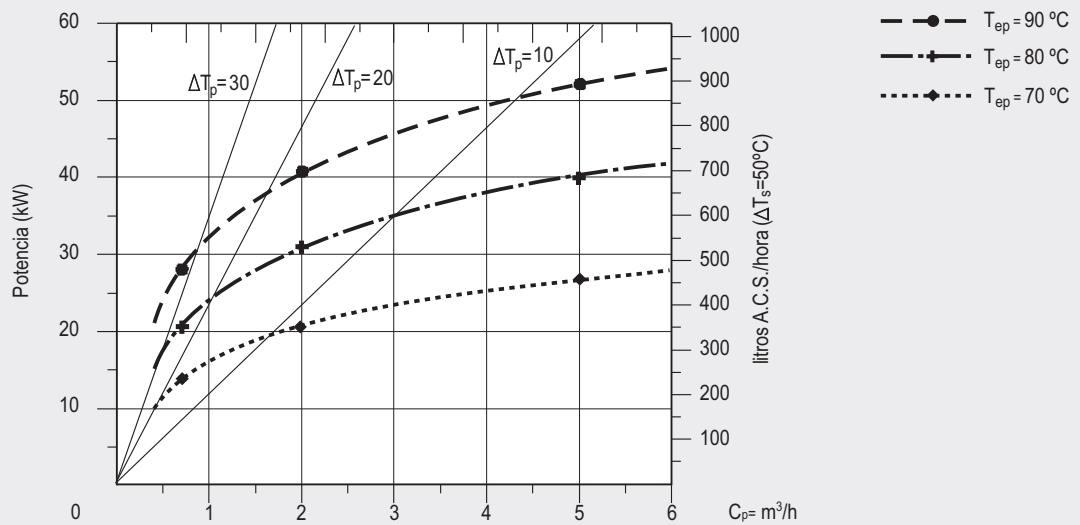
Pérdidas de carga entre conexiones de entrada y salida de circuito primario para diferentes caudales de circulación.



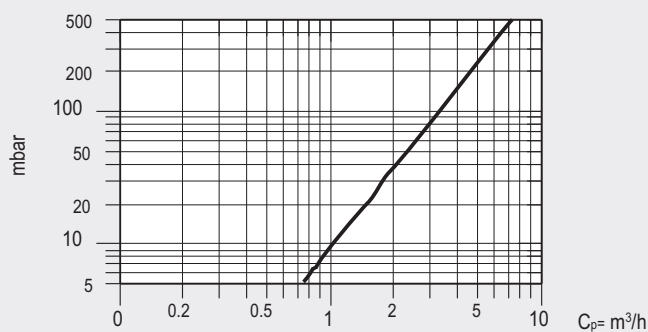
Curvas de potencia para diferentes caudales y temperaturas de circuito primario para producción de A.C.S. 10°C → 45°C.



Curvas de potencia para diferentes caudales y temperaturas de circuito primario para producción de A.C.S. 10°C → 60°C.

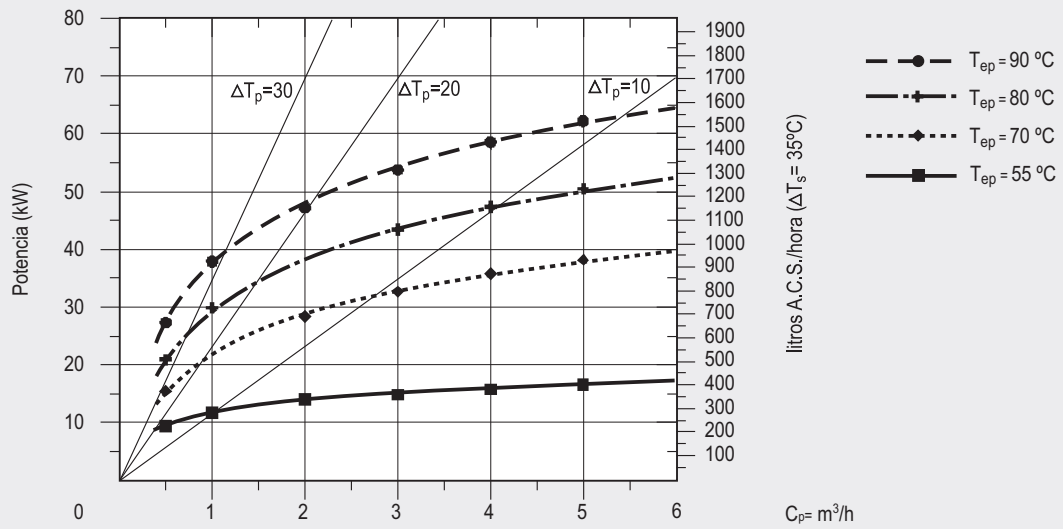


Pérdidas de carga entre conexiones de entrada y salida de circuito primario para diferentes caudales de circulación.

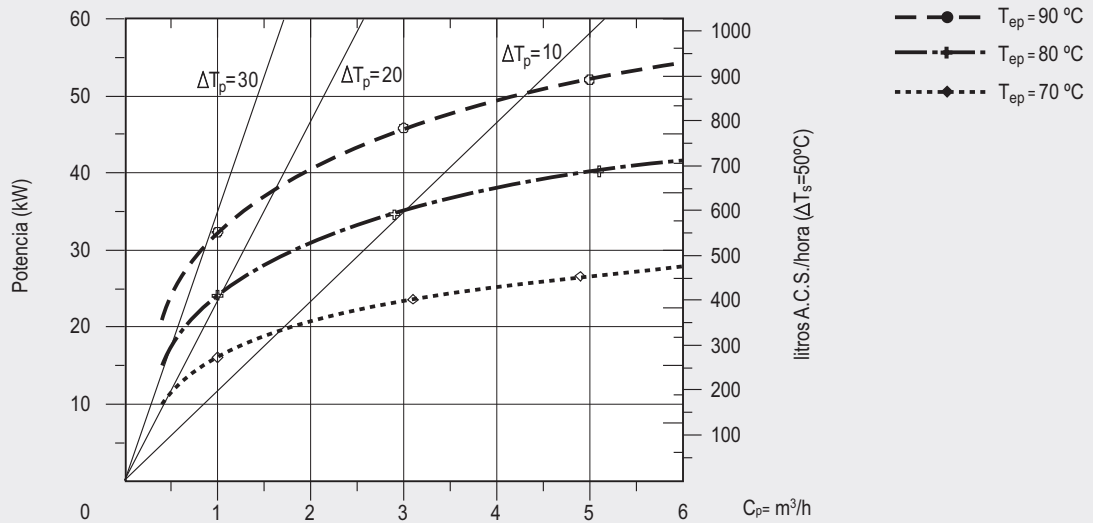


Modelos: Serpentin superior de CV-1500-M2B

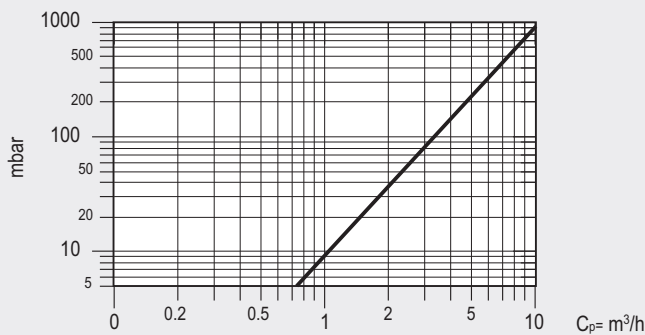
Curvas de potencia para diferentes caudales y temperaturas de circuito primario para producción de A.C.S. 10°C → 45°C.



Curvas de potencia para diferentes caudales y temperaturas de circuito primario para producción de A.C.S. 10°C → 60°C.

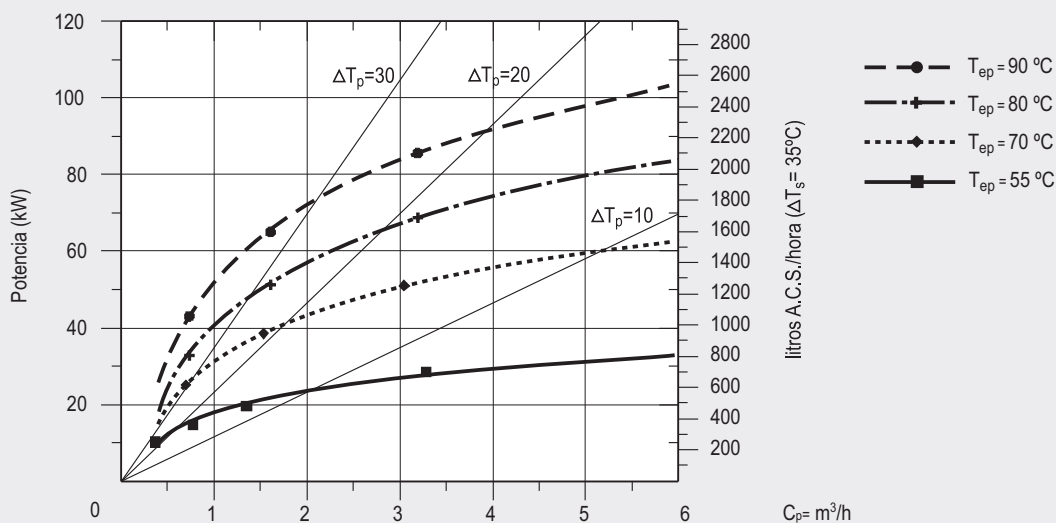


Pérdidas de carga entre conexiones de entrada y salida de circuito primario para diferentes caudales de circulación.

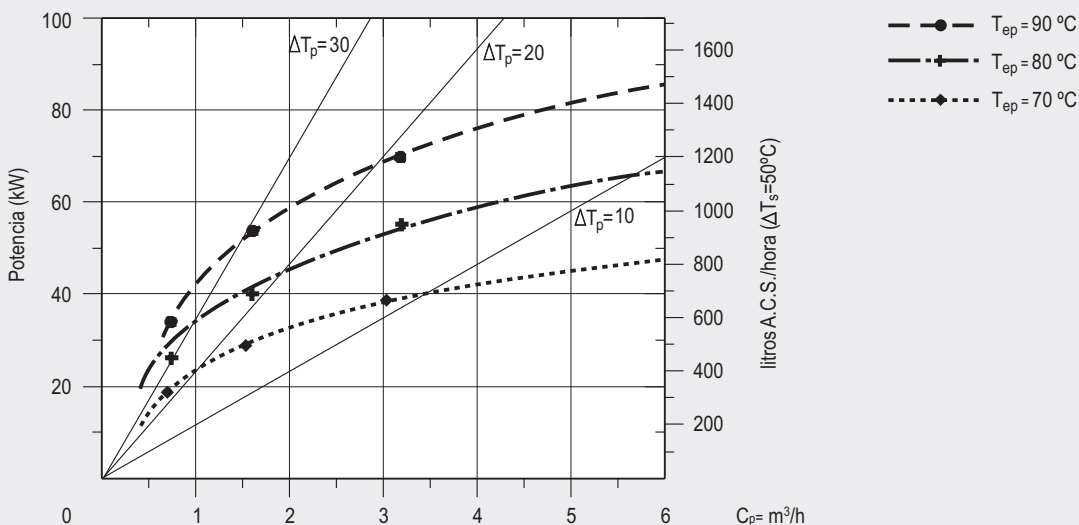


Modelos CV-200-HL

Curvas de potencia para diferentes caudales y temperaturas de circuito primario para producción de A.C.S. 10°C → 45°C.



Curvas de potencia para diferentes caudales y temperaturas de circuito primario para producción de A.C.S. 10°C → 60°C.

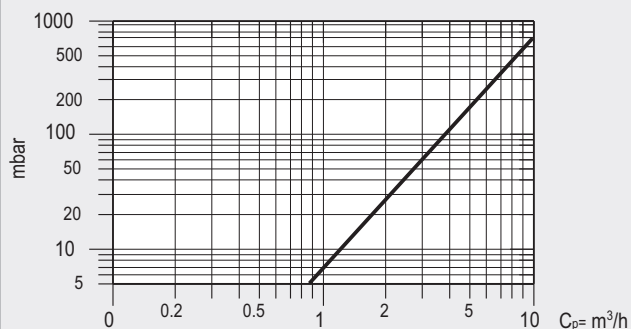


Producción de A.C.S.

Caudal punta a 40°C	L/10'	435
Caudal punta a 45°C	L/10'	370
Caudal punta a 60°C	L/10'	260
Caudal punta a 40°C	L/60'	2750
Caudal punta a 45°C	L/60'	2295
Caudal punta a 60°C	L/60'	1355
Caudal continuo a 40°C	L/h	2775
Caudal continuo a 45°C	L/h	2310
Caudal continuo a 60°C	L/h	1314
Tiempo de calentamiento (de 10 a 75°C)	Min	26
Caudal de agua de calefacción	$m^3/h$	6

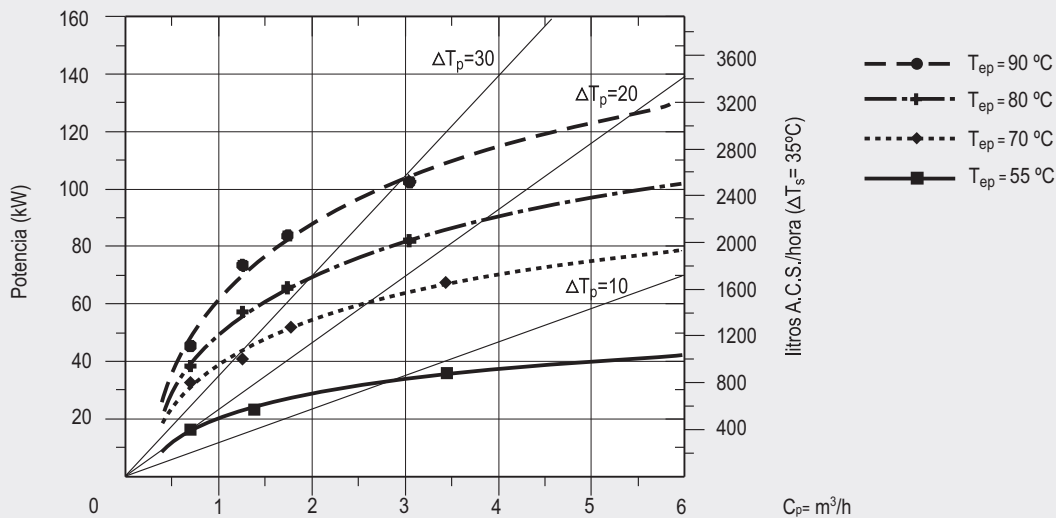
$T^a$ (Temperatura impulsión del agua de calefacción) = 85 °C

Pérdidas de carga entre conexiones de entrada y salida de circuito primario para diferentes caudales de circulación.

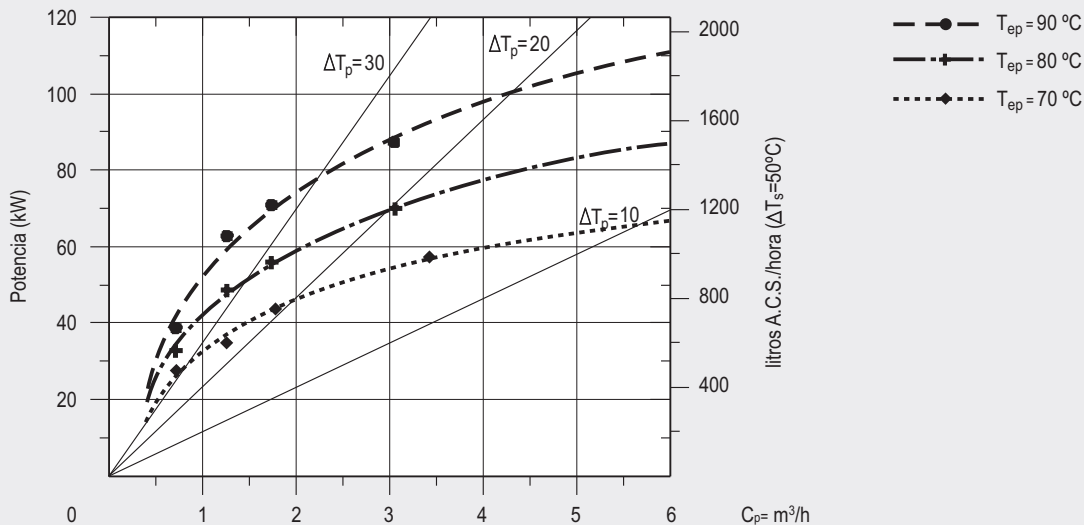


Modelos CV-300-HL

Curvas de potencia para diferentes caudales y temperaturas de circuito primario para producción de A.C.S. 10°C → 45°C.



Curvas de potencia para diferentes caudales y temperaturas de circuito primario para producción de A.C.S. 10°C → 60°C.

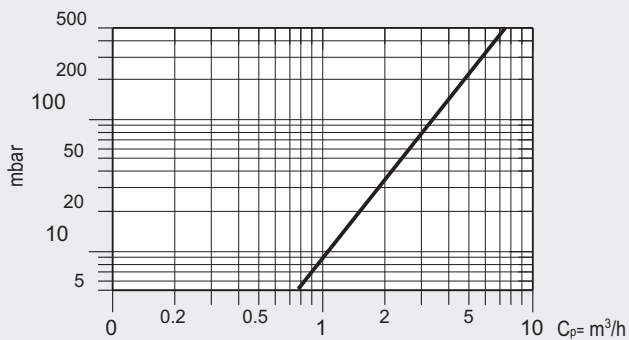


Producción de A.C.S.

Caudal punta a 40°C	L/10'	605
Caudal punta a 45°C	L/10'	520
Caudal punta a 60°C	L/10'	365
Caudal punta a 40°C	L/60'	3470
Caudal punta a 45°C	L/60'	2910
Caudal punta a 60°C	L/60'	1785
Caudal continuo a 40°C	L/h	3440
Caudal continuo a 45°C	L/h	2865
Caudal continuo a 60°C	L/h	1705
Tiempo de calentamiento (de 10 a 75°C)	Min	32
Caudal de agua de calefacción	m³/h	6

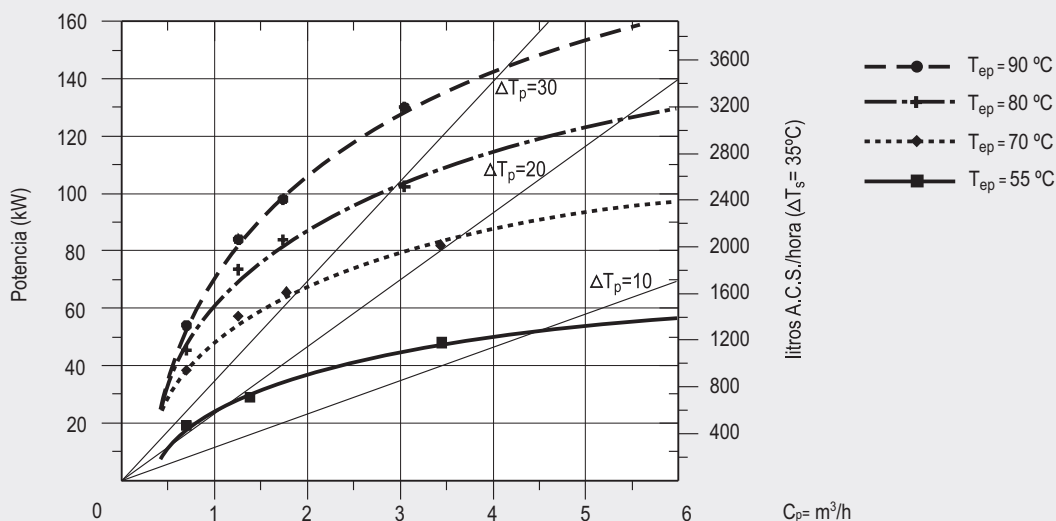
Tª(Temperatura impulsión del agua de calefacción) = 85 °C

Pérdidas de carga entre conexiones de entrada y salida de circuito primario para diferentes caudales de circulación.

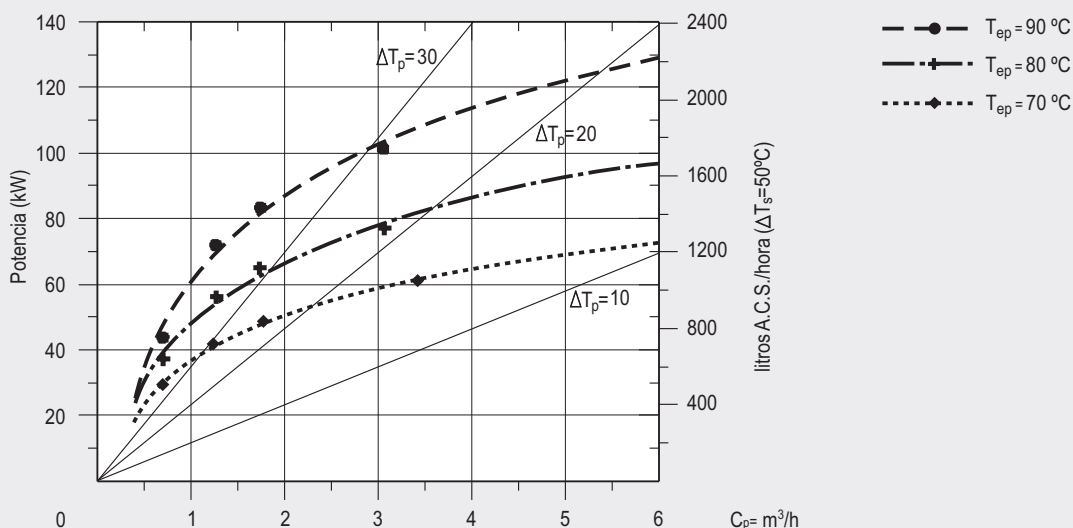


Modelos CV-400-HL

Curvas de potencia para diferentes caudales y temperaturas de circuito primario para producción de A.C.S. 10°C → 45°C.



Curvas de potencia para diferentes caudales y temperaturas de circuito primario para producción de A.C.S. 10°C → 60°C.

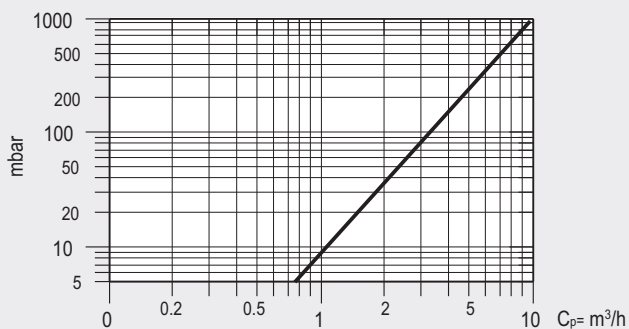


Producción de A.C.S.

Caudal punta a 40°C	L/10'	835
Caudal punta a 45°C	L/10'	715
Caudal punta a 60°C	L/10'	500
Caudal punta a 40°C	L/60'	4455
Caudal punta a 45°C	L/60'	3730
Caudal punta a 60°C	L/60'	2140
Caudal continuo a 40°C	L/h	4345
Caudal continuo a 45°C	L/h	3620
Caudal continuo a 60°C	L/h	1965
Tiempo de calentamiento (de 10 a 75°C)	Min	35
Caudal de agua de calefacción	m³/h	6

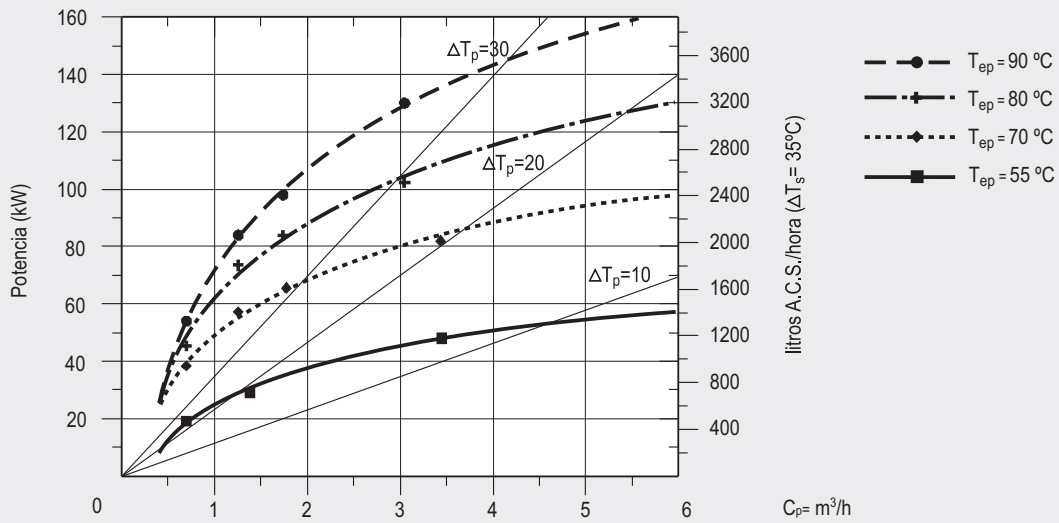
T<sup>a</sup>(Temperatura impulsión del agua de calefacción) = 85 °C

Pérdidas de carga entre conexiones de entrada y salida de circuito primario para diferentes caudales de circulación.

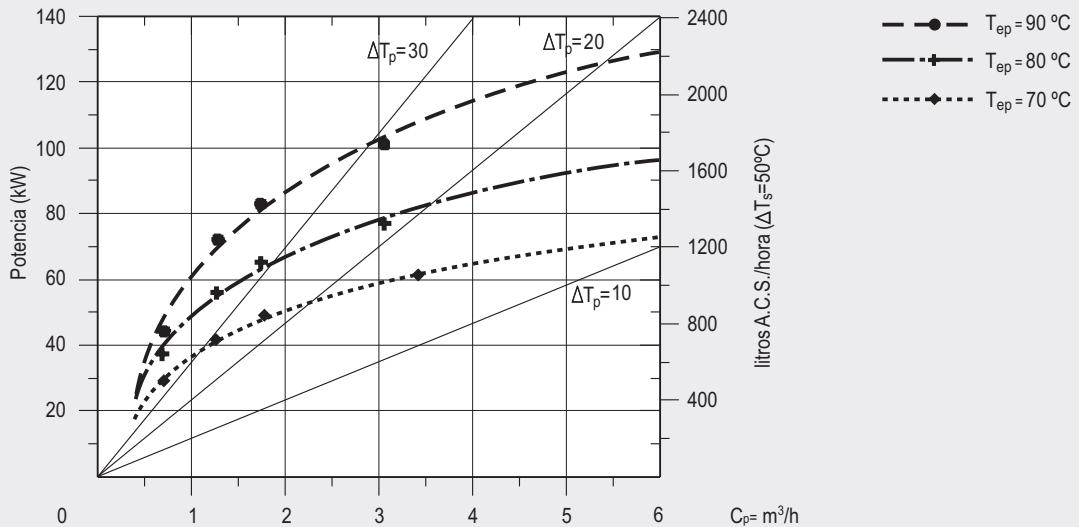


Modelos CV-500-HL

Curvas de potencia para diferentes caudales y temperaturas de circuito primario para producción de A.C.S. 10°C → 45°C.



Curvas de potencia para diferentes caudales y temperaturas de circuito primario para producción de A.C.S. 10°C → 60°C.

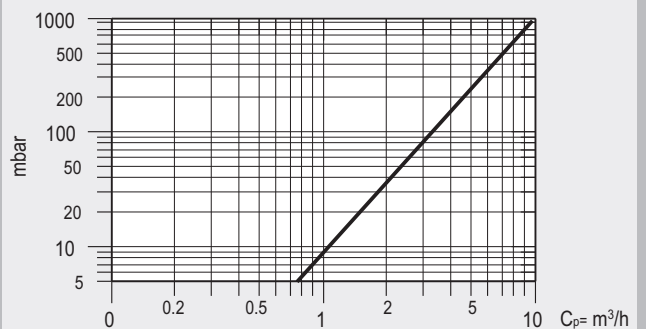


Producción de A.C.S.

Caudal punta a 40°C	L/10'	1085
Caudal punta a 45°C	L/10'	930
Caudal punta a 60°C	L/10'	650
Caudal punta a 40°C	L/60'	4705
Caudal punta a 45°C	L/60'	3945
Caudal punta a 60°C	L/60'	2290
Caudal continuo a 40°C	L/h	4345
Caudal continuo a 45°C	L/h	3620
Caudal continuo a 60°C	L/h	1965
Tiempo de calentamiento (de 10 a 75°C)	Min	39
Caudal de agua de calefacción	m <sup>3</sup> /h	6

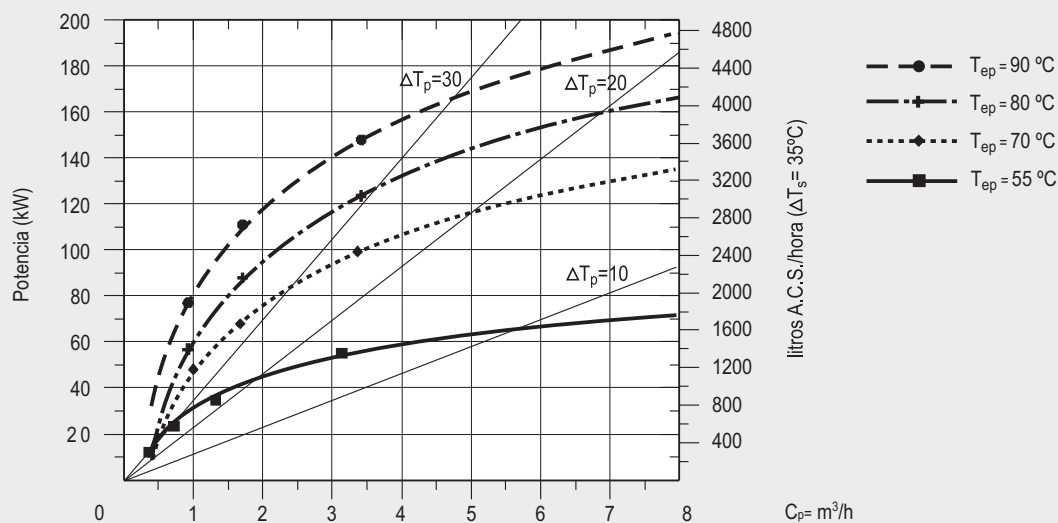
T<sup>a</sup>(Temperatura impulsión del agua de calefacción) = 85 °C

Pérdidas de carga entre conexiones de entrada y salida de circuito primario para diferentes caudales de circulación.

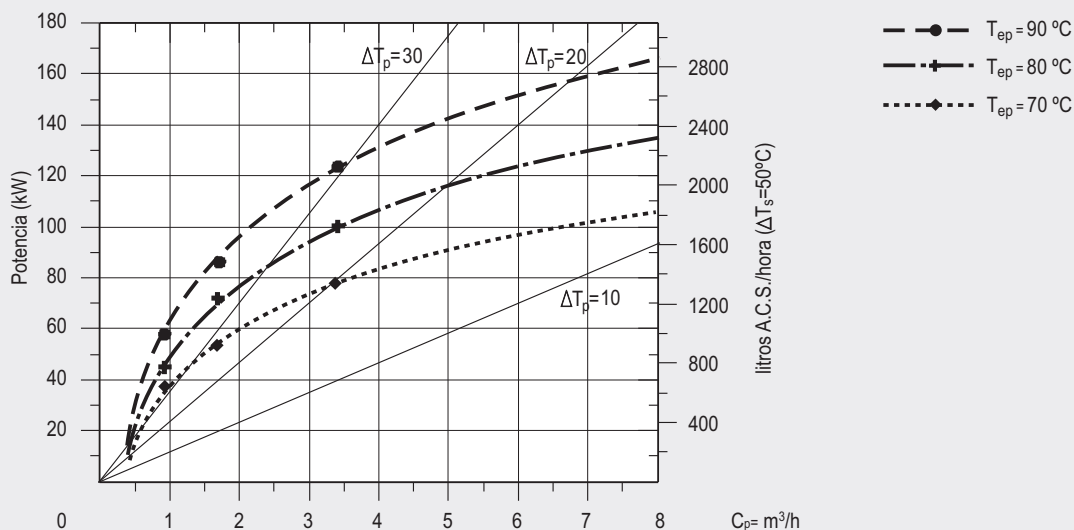


## Modelos CV-750-HL y CV-800-HLB

Curvas de potencia para diferentes caudales y temperaturas de circuito primario para producción de A.C.S. 10°C → 45°C.



Curvas de potencia para diferentes caudales y temperaturas de circuito primario para producción de A.C.S. 10°C → 60°C.

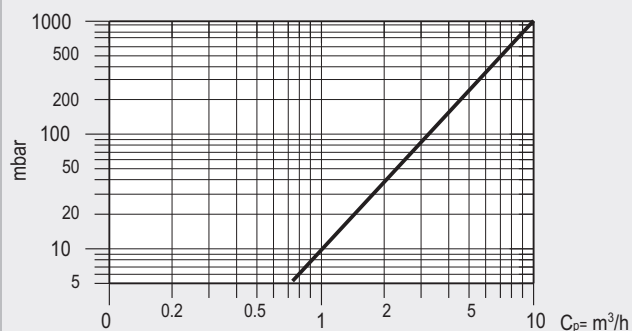


### Producción de A.C.S.

Caudal punta a 40°C	L/10'	1625
Caudal punta a 45°C	L/10'	1395
Caudal punta a 60°C	L/10'	975
Caudal punta a 40°C	L/60'	6065
Caudal punta a 45°C	L/60'	5095
Caudal punta a 60°C	L/60'	3080
Caudal continuo a 40°C	L/h	5330
Caudal continuo a 45°C	L/h	4440
Caudal continuo a 60°C	L/h	2525
Tiempo de calentamiento (de 10 a 75°C)	Min	45
Caudal de agua de calefacción	$m^3/h$	8

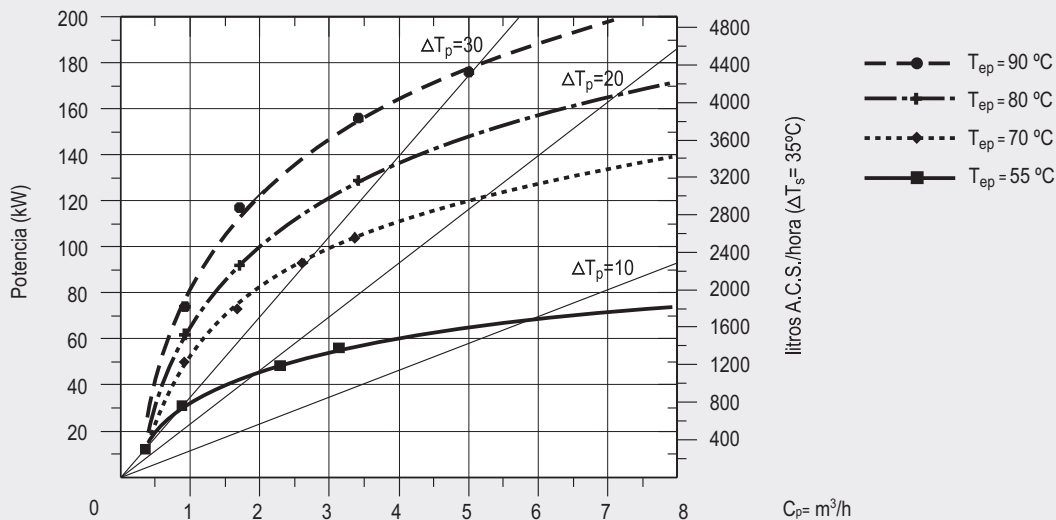
$T^a$  (Temperatura impulsión del agua de calefacción) = 85°C

Pérdidas de carga entre conexiones de entrada y salida de circuito primario para diferentes caudales de circulación.

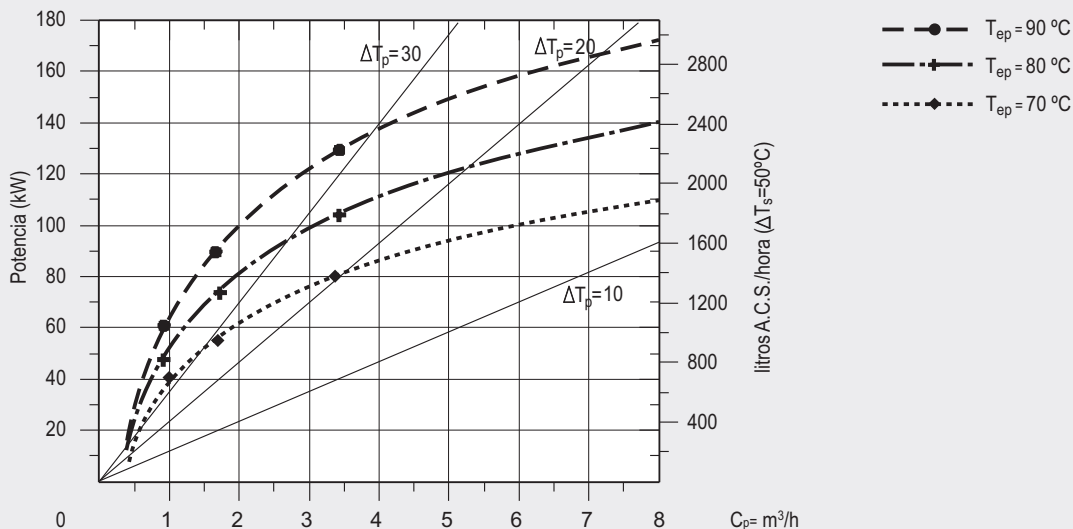


Modelos CV-1000-HL y CV-1000-HLB

Curvas de potencia para diferentes caudales y temperaturas de circuito primario para producción de A.C.S. 10°C → 45°C.



Curvas de potencia para diferentes caudales y temperaturas de circuito primario para producción de A.C.S. 10°C → 60°C.

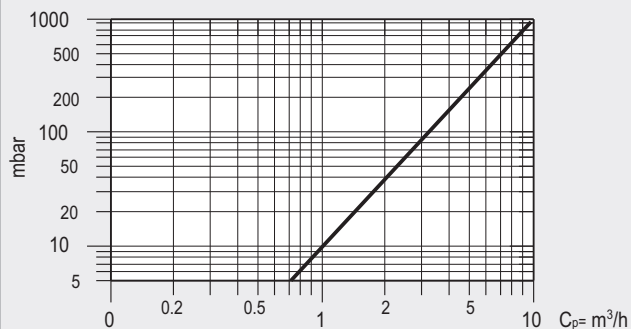


Producción de A.C.S.

Caudal punta a 40°C	L/10'	1950
Caudal punta a 45°C	L/10'	1670
Caudal punta a 60°C	L/10'	1170
Caudal punta a 40°C	L/60'	6605
Caudal punta a 45°C	L/60'	5550
Caudal punta a 60°C	L/60'	3415
Caudal continuo a 40°C	L/h	5585
Caudal continuo a 45°C	L/h	4655
Caudal continuo a 60°C	L/h	2696
Tiempo de calentamiento (de 10 a 75°C)	Min	54
Caudal de agua de calefacción	m <sup>3</sup> /h	8

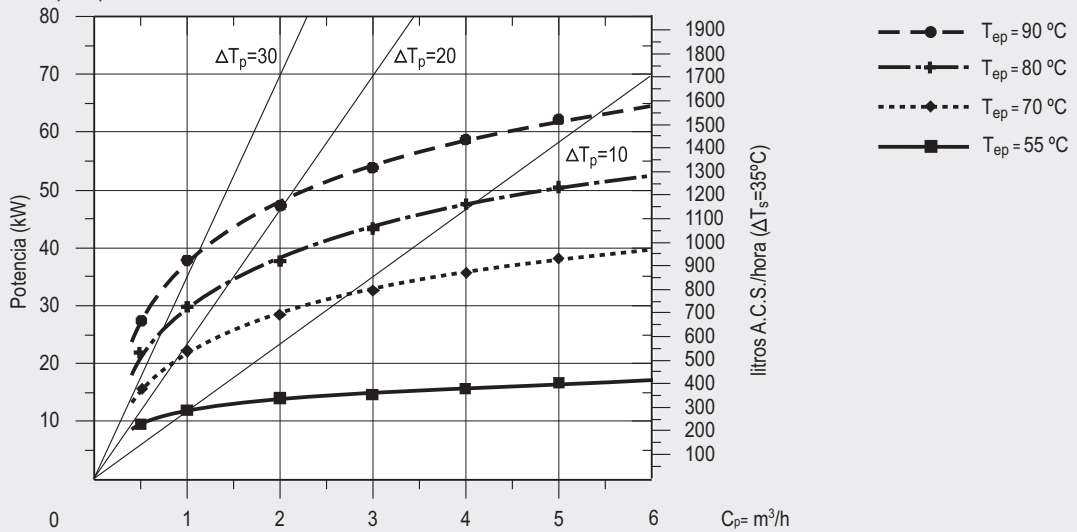
T<sup>a</sup>(Temperatura impulsión del agua de calefacción) = 85 °C

Pérdidas de carga entre conexiones de entrada y salida de circuito primario para diferentes caudales de circulación.

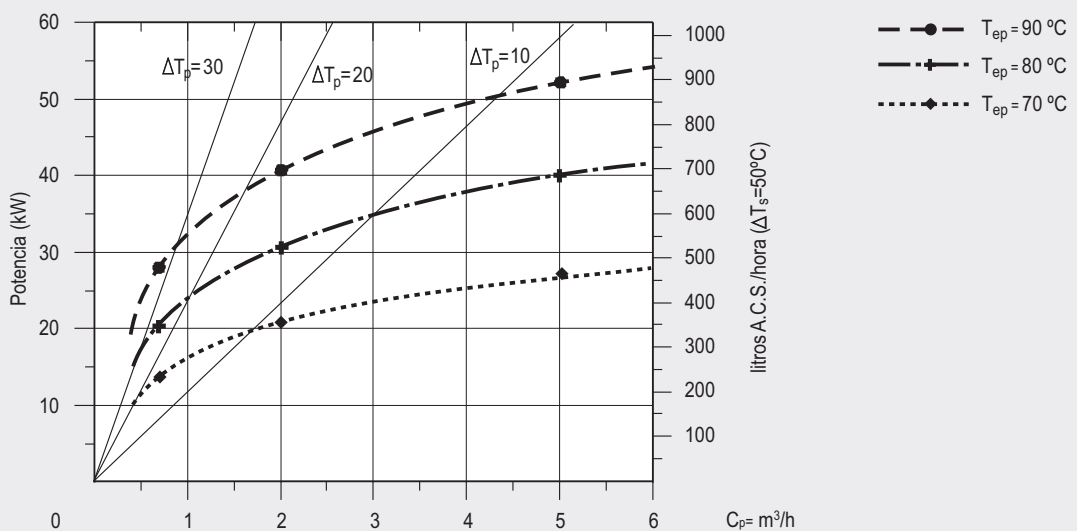


## Modelos: Serpentin inferior de CV-350-HL/DUO

Curvas de potencia para diferentes caudales y temperaturas de circuito primario para producción de A.C.S. 10°C → 45°C.



Curvas de potencia para diferentes caudales y temperaturas de circuito primario para producción de A.C.S. 10°C → 60°C.

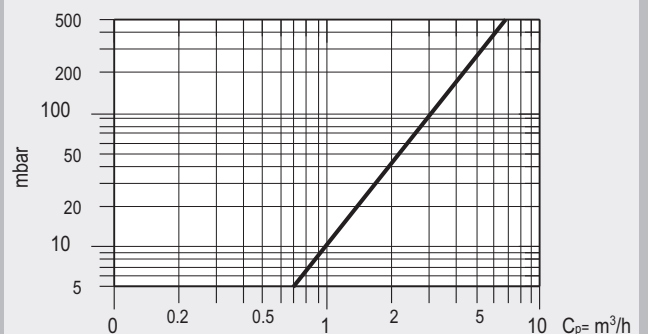


### Producción de A.C.S.

Caudal punta a 40°C	L/10'	828
Caudal punta a 45°C	L/10'	705
Caudal punta a 60°C	L/10'	478
Caudal punta a 40°C	L/60'	2280
Caudal punta a 45°C	L/60'	1903
Caudal punta a 60°C	L/60'	1168
Caudal continuo a 40°C	L/h	1743
Caudal continuo a 45°C	L/h	1438
Caudal continuo a 60°C	L/h	828
Tiempo de calentamiento (de 10 a 75°C)	Min	62
Caudal de agua de calefacción	m³/h	6

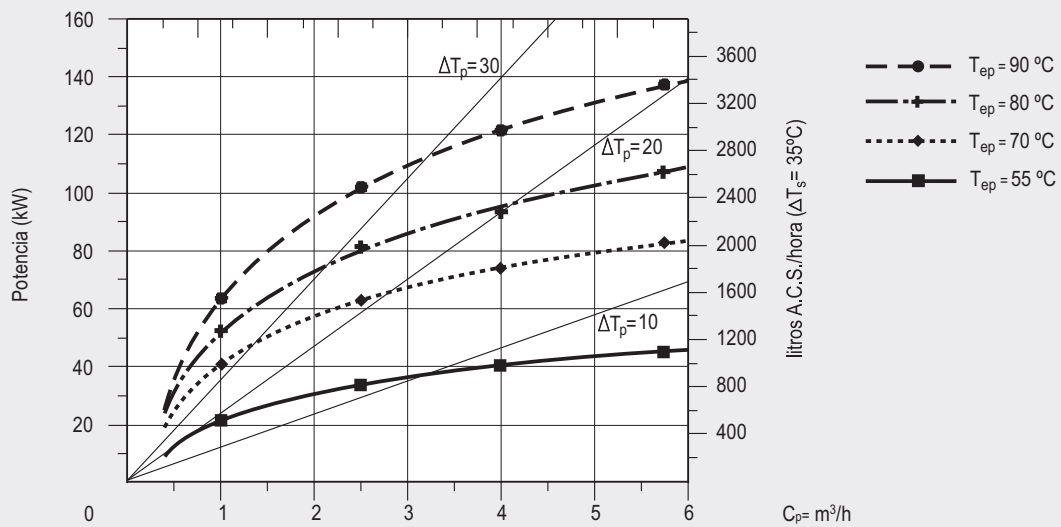
T<sup>a</sup>(Temperatura impulsión del agua de calefacción) = 85 °C

Pérdidas de carga entre conexiones de entrada y salida de circuito primario para diferentes caudales de circulación.

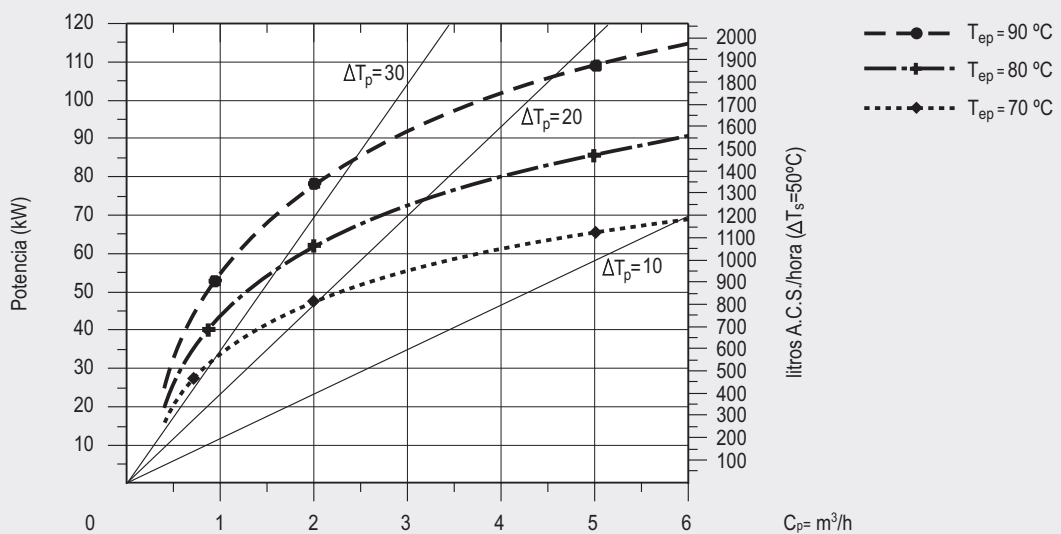


Modelos: Serpentin superior de CV-350-HL/DUO

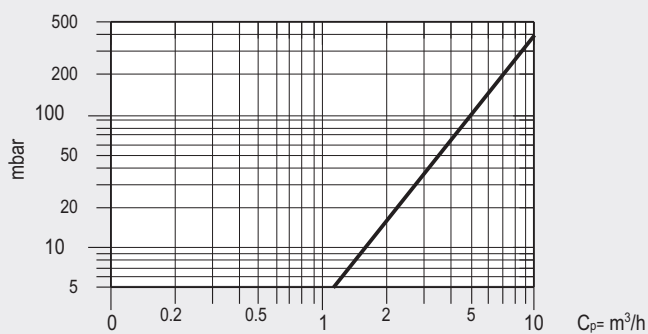
Curvas de potencia para diferentes caudales y temperaturas de circuito primario para producción de A.C.S. 10°C → 45°C.



Curvas de potencia para diferentes caudales y temperaturas de circuito primario para producción de A.C.S. 10°C → 60°C.

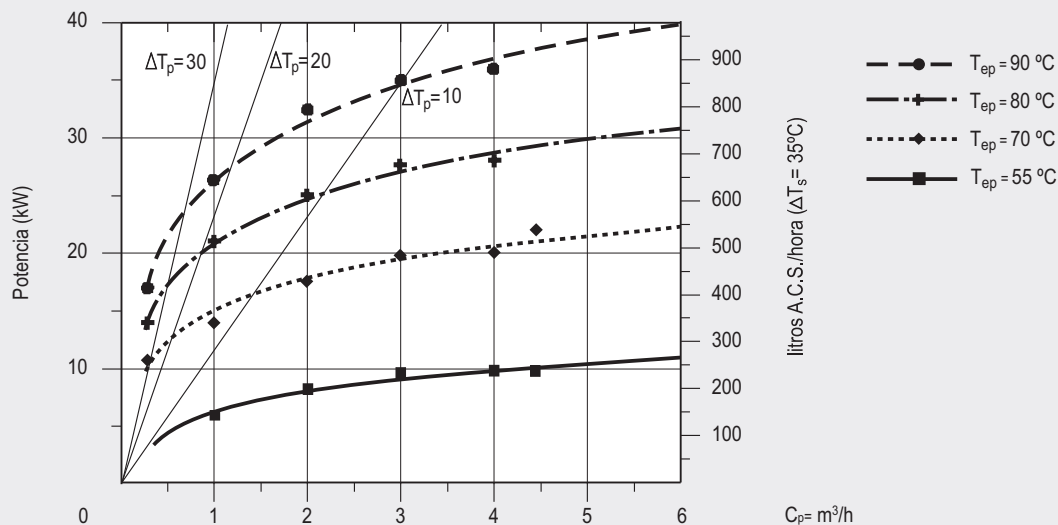


Pérdidas de carga entre conexiones de entrada y salida de circuito primario para diferentes caudales de circulación.

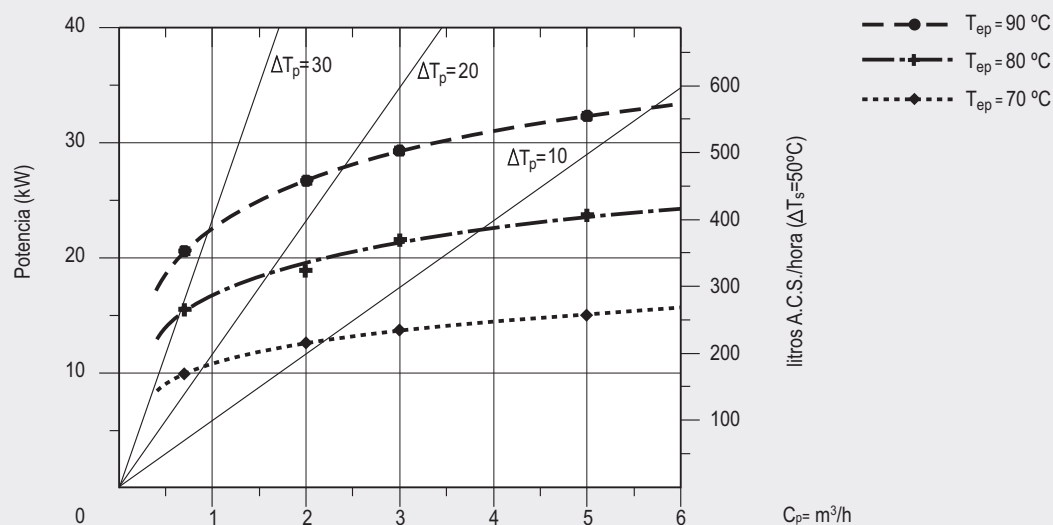


## Modelos: doble pared del CV-600-P

Curvas de potencia para diferentes caudales y temperaturas de circuito primario para producción de A.C.S. 10°C → 45°C.



Curvas de potencia para diferentes caudales y temperaturas de circuito primario para producción de A.C.S. 10°C → 60°C.

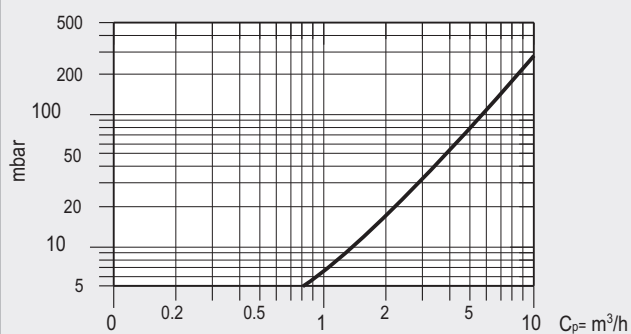


### Producción de A.C.S.

Caudal punta a 40°C	L/10'	315
Caudal punta a 45°C	L/10'	270
Caudal punta a 60°C	L/10'	185
Caudal punta a 40°C	L/60'	1160
Caudal punta a 45°C	L/60'	970
Caudal punta a 60°C	L/60'	585
Caudal continuo a 40°C	L/h	1015
Caudal continuo a 45°C	L/h	840
Caudal continuo a 60°C	L/h	480
Tiempo de calentamiento (de 10 a 75°C)	Min	45
Caudal de agua de calefacción	m³/h	5

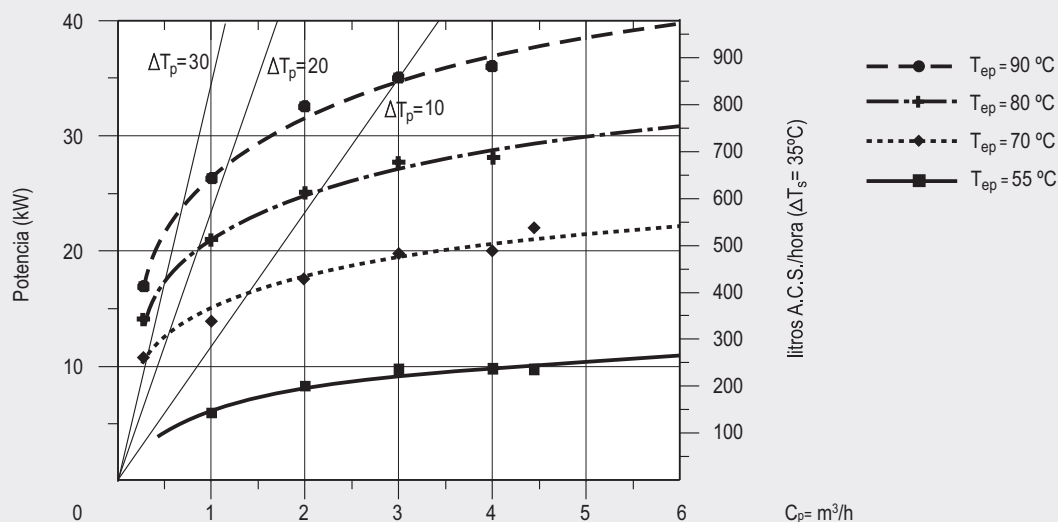
T<sup>a</sup>(Temperatura impulsión del agua de calefacción) = 85 °C

Pérdidas de carga entre conexiones de entrada y salida de circuito primario para diferentes caudales de circulación.

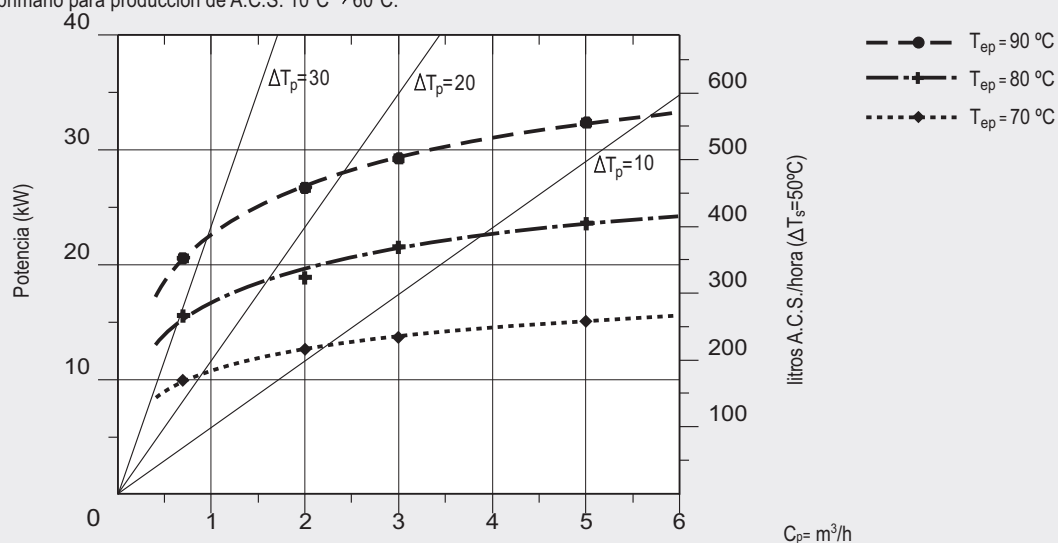


## Modelos: doble pared del CV-800-P y CV-800-P/DUO

Curvas de potencia para diferentes caudales y temperaturas de circuito primario para producción de A.C.S. 10°C → 45°C.



Curvas de potencia para diferentes caudales y temperaturas de circuito primario para producción de A.C.S. 10°C → 60°C.

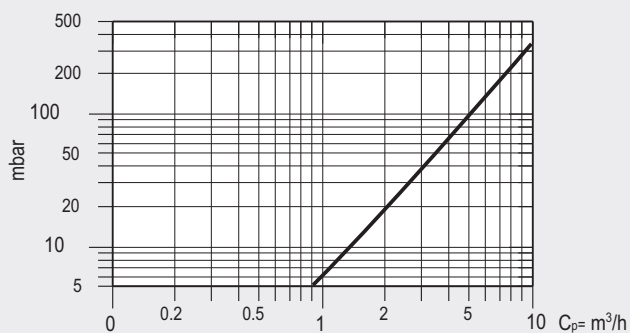


### Producción de A.C.S.

Caudal punta a 40°C	L/10'	315
Caudal punta a 45°C	L/10'	270
Caudal punta a 60°C	L/10'	185
Caudal punta a 40°C	L/60'	1160
Caudal punta a 45°C	L/60'	970
Caudal punta a 60°C	L/60'	585
Caudal continuo a 40°C	L/h	1015
Caudal continuo a 45°C	L/h	840
Caudal continuo a 60°C	L/h	480
Tiempo de calentamiento (de 10 a 75°C)	Min	45
Caudal de agua de calefacción	m³/h	5

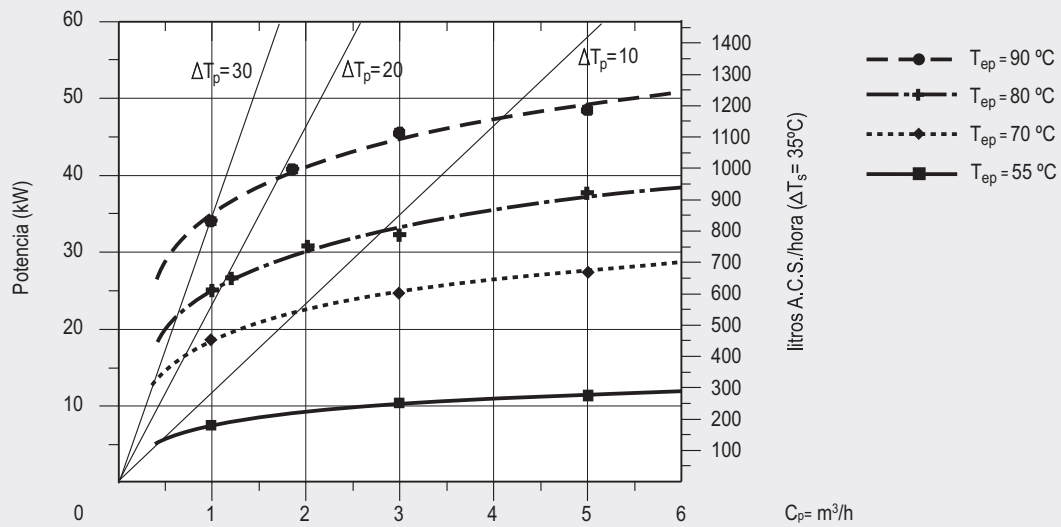
T<sup>a</sup>(Temperatura impulsión del agua de calefacción) = 85 °C

Pérdidas de carga entre conexiones de entrada y salida de circuito primario para diferentes caudales de circulación.

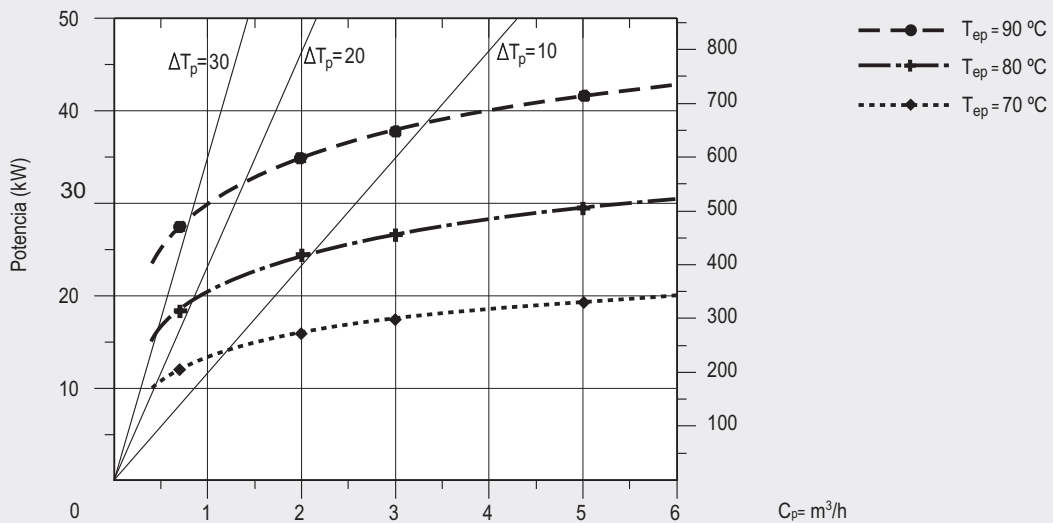


## Modelos: doble pared del CV-1000-P y CV-1000-P/DUO

Curvas de potencia para diferentes caudales y temperaturas de circuito primario para producción de A.C.S. 10°C → 45°C.



Curvas de potencia para diferentes caudales y temperaturas de circuito primario para producción de A.C.S. 10°C → 60°C.

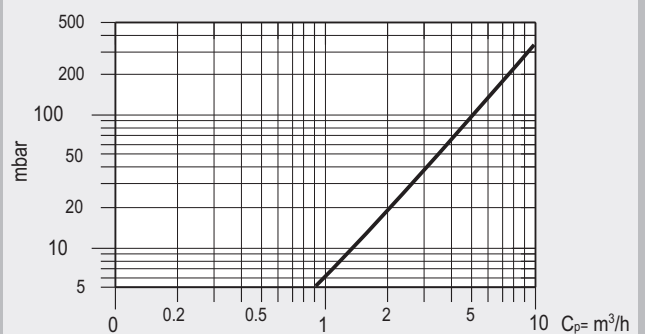


### Producción de A.C.S.

Caudal punta a 40°C	L/10'	420
Caudal punta a 45°C	L/10'	360
Caudal punta a 60°C	L/10'	255
Caudal punta a 40°C	L/60'	1490
Caudal punta a 45°C	L/60'	1245
Caudal punta a 60°C	L/60'	765
Caudal continuo a 40°C	L/h	1285
Caudal continuo a 45°C	L/h	1060
Caudal continuo a 60°C	L/h	615
Tiempo de calentamiento (de 10 a 75°C)	Min	55
Caudal de agua de calefacción	m³/h	5

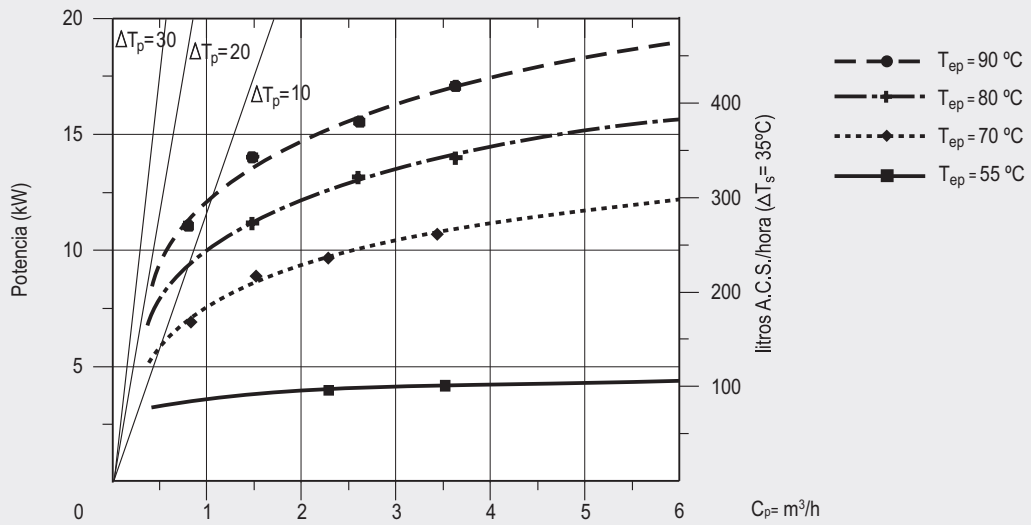
T<sup>a</sup>(Temperatura impulsión del agua de calefacción) = 85 °C

Pérdidas de carga entre conexiones de entrada y salida de circuito primario para diferentes caudales de circulación.

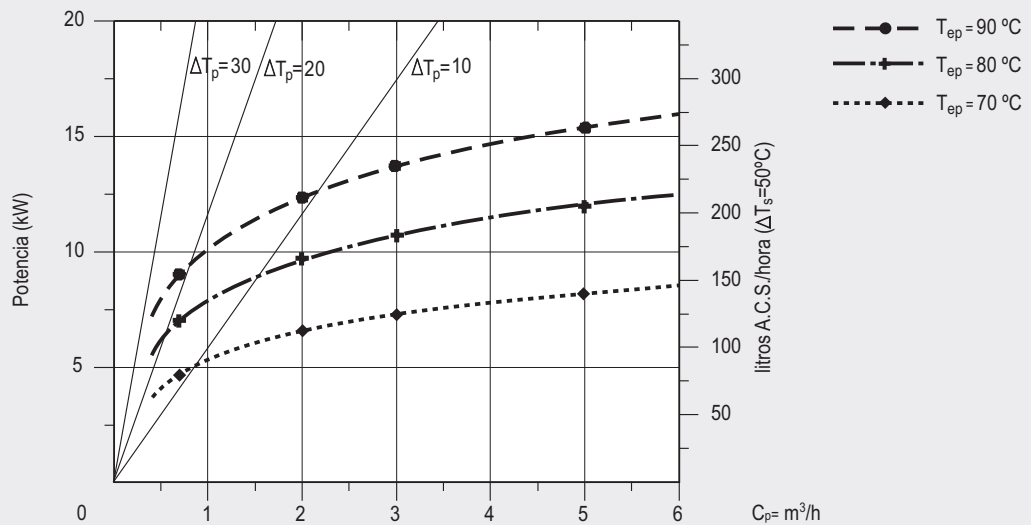


Modelos: Serpentin CV-600-P

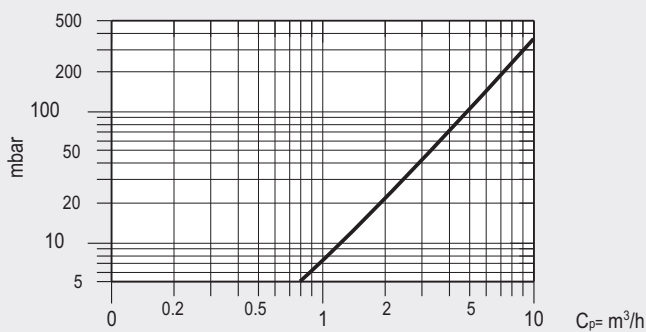
Curvas de potencia para diferentes caudales y temperaturas de circuito primario para producción de A.C.S. 10°C → 45°C.



Curvas de potencia para diferentes caudales y temperaturas de circuito primario para producción de A.C.S. 10°C → 60°C.

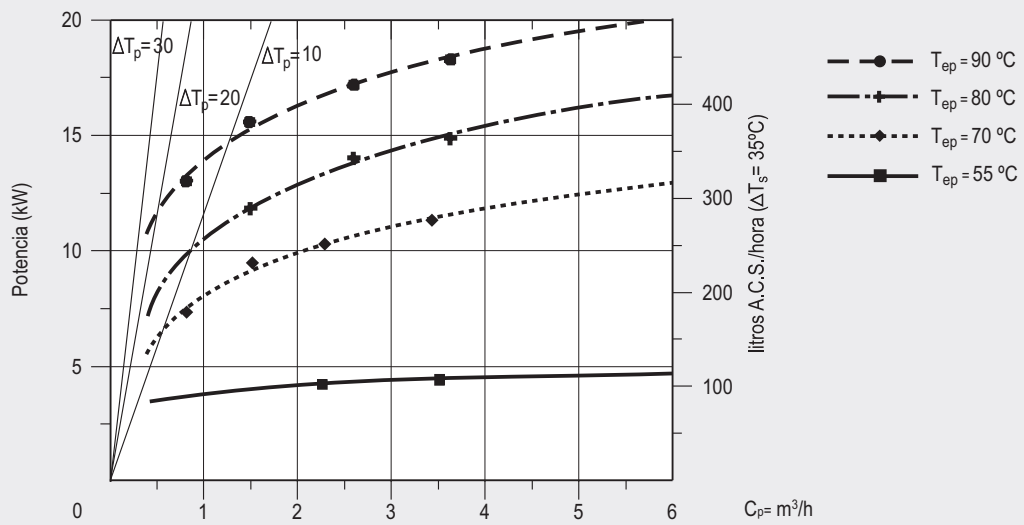


Pérdidas de carga entre conexiones de entrada y salida de circuito primario para diferentes caudales de circulación.

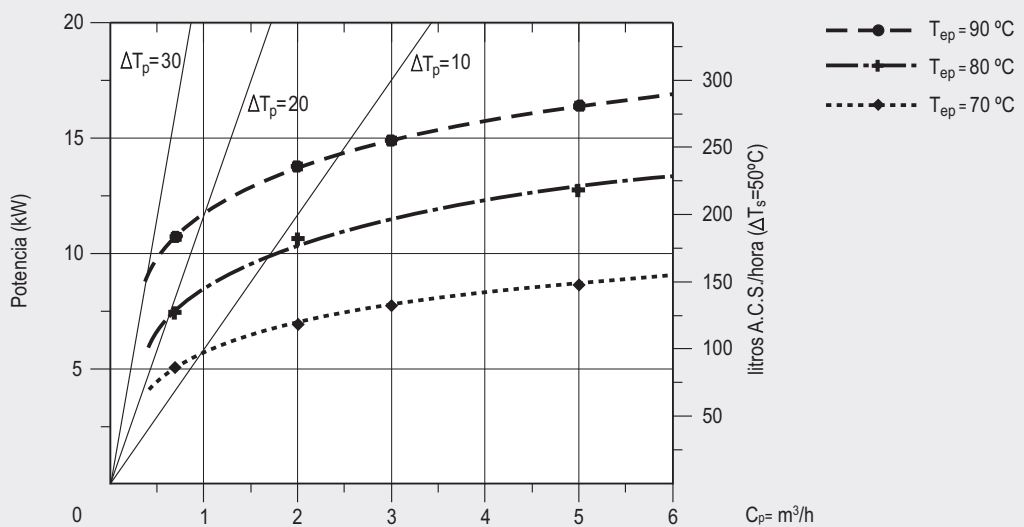


Modelos: Serpentin CV-800-P y serpentin inferior del CV-800-P/DUO

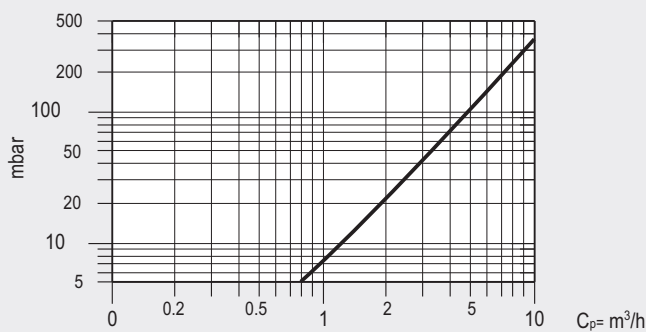
Curvas de potencia para diferentes caudales y temperaturas de circuito primario para producción de A.C.S. 10°C → 45°C.



Curvas de potencia para diferentes caudales y temperaturas de circuito primario para producción de A.C.S. 10°C → 60°C.

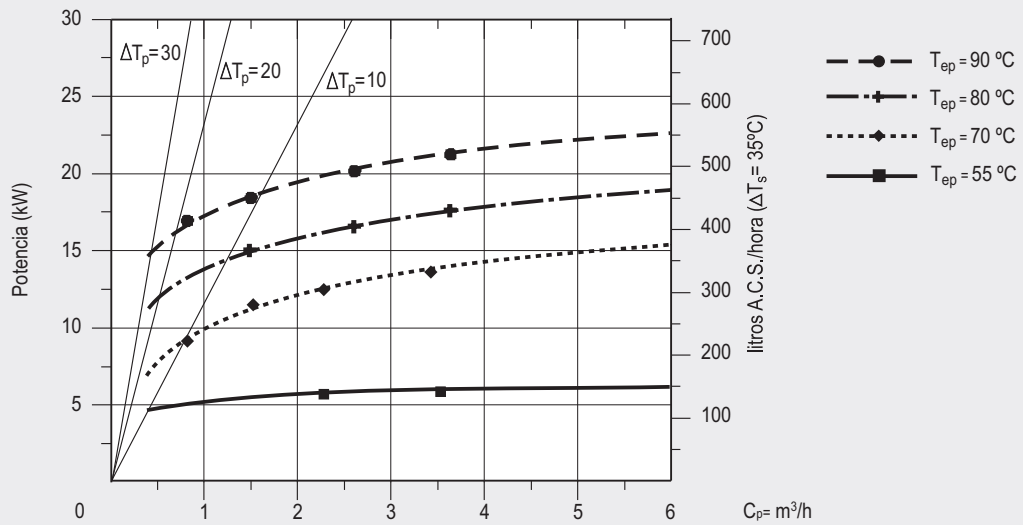


Pérdidas de carga entre conexiones de entrada y salida de circuito primario para diferentes caudales de circulación.

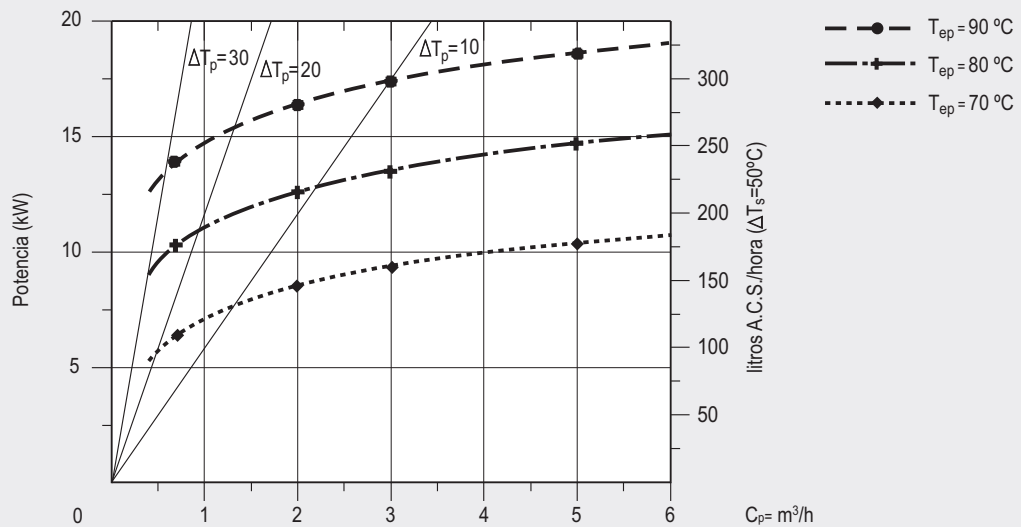


Modelos: Serpentin CV-1000-P y serpentín inferior del CV-1000-P/DUO

Curvas de potencia para diferentes caudales y temperaturas de circuito primario para producción de A.C.S. 10°C → 45°C.



Curvas de potencia para diferentes caudales y temperaturas de circuito primario para producción de A.C.S. 10°C → 60°C.



Pérdidas de carga entre conexiones de entrada y salida de circuito primario para diferentes caudales de circulación.

